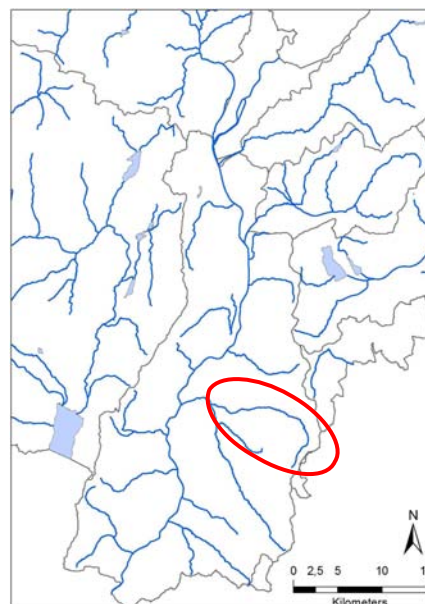
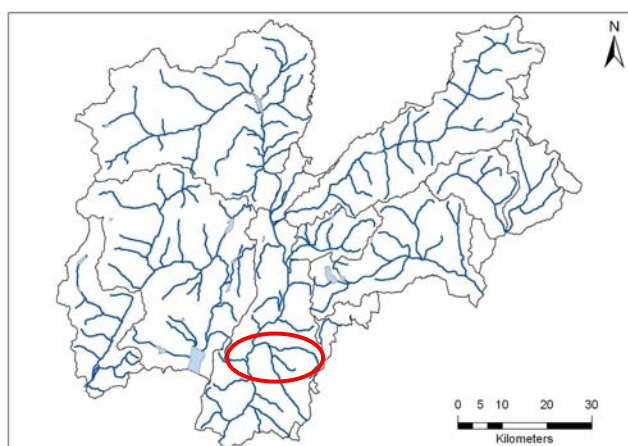


# Torrente Lenò di Terragnolo



| Codice RASTA | Area bacino (Kmq) | Lunghezza totale (Km) |
|--------------|-------------------|-----------------------|
| A052010000   | 62,8              | 18,4                  |

**Tabella 1: Punteggio, livello, giudizio IFF reale e relativo**

| Descrizione tratto |           |       |                                      |                                      |    | IFF reale |        |                   | IFF relativo |         |          |                   |
|--------------------|-----------|-------|--------------------------------------|--------------------------------------|----|-----------|--------|-------------------|--------------|---------|----------|-------------------|
| Codice             | Data      | L (m) | Inizio tratto                        | Fine tratto                          | Sp | Punt      | Liv    | Giud              | CatFI        | Punt FP | Frel (%) | Frel giud         |
| LENT001d           | 21-giu-11 | 679   | Forra                                | Forra                                | dx |           |        | n.r.              | FR           |         |          | n.r.              |
| LENT001s           |           |       |                                      |                                      | sx |           |        | n.r.              | FR           |         | n.r.     |                   |
| LENT002d           | 21-giu-11 | 261   | Derivazione (fine forra)             | Inizio argine dx                     | dx | 235       | II     | buono             | FA           | 290     | 81,0%    | buono             |
| LENT002s           |           |       |                                      |                                      | sx | 240       | II     | buono             | FA           | 290     | 82,8%    | buono             |
| LENT003d           | 21-giu-11 | 134   | Inizio argine dx                     | Briglia filtrante (inizio parete sx) | dx | 167       | III    | mediocre          | FS           | 265     | 63,0%    | buono-mediocre    |
| LENT003s           |           |       |                                      |                                      | sx | 159       | III    | mediocre          | FS           | 265     | 60,0%    | mediocre          |
| LENT004d           | 21-giu-11 | 140   | Briglia filtrante (inizio parete sx) | Fine parete sx                       | dx | 191       | II-III | buono-mediocre    | FS           | 265     | 72,1%    | buono             |
| LENT004s           |           |       |                                      |                                      | sx | 164       | III    | mediocre          | FS           | 265     | 61,9%    | buono-mediocre    |
| LENT005d           | 21-giu-11 | 244   | Fine parete sx                       | Fine piana alluvionale               | dx | 270       | I      | ottimo            | FS           | 300     | 90,0%    | ottimo            |
| LENT005s           |           |       |                                      |                                      | sx | 270       | I      | ottimo            | FS           | 300     | 90,0%    | ottimo            |
| LENT006d           | 21-giu-11 | 947   | Fine piana alluvionale               | Inizio muri in dx e sx               | dx | 226       | II     | buono             | FS           | 265     | 85,3%    | ottimo-buono      |
| LENT006s           |           |       |                                      |                                      | sx | 226       | II     | buono             | FS           | 265     | 85,3%    | ottimo-buono      |
| LENT007d           | 21-giu-11 | 994   | Inizio muri in dx e sx               | Fine muri in dx e sx                 | dx | 105       | III-IV | mediocre-scadente | FS           | 265     | 39,6%    | mediocre-scadente |
| LENT007s           |           |       |                                      |                                      | sx | 125       | III    | mediocre          | FS           | 265     | 47,2%    | mediocre          |
| LENT008d           | 23-giu-11 | 5900  | Fine muri in dx e sx                 | Inizio sentiero sx                   | dx | 246       | II     | buono             | FS           | 265     | 90,9%    | ottimo            |
| LENT008s           |           |       |                                      |                                      | sx | 246       | II     | buono             | FS           | 265     | 90,9%    | ottimo            |
| LENT009d           | 23-giu-11 | 352   | Inizio sentiero sx                   | Inizio prato sfalcato in dx          | dx | 251       | I-II   | buono             | FS           | 265     | 92,8%    | ottimo            |
| LENT009s           |           |       |                                      |                                      | sx | 221       | II     | buono             | FS           | 265     | 81,5%    | buono             |
| LENT010d           | 23-giu-11 | 62    | Inizio prato sfalcato in dx          | Inizio cunettone                     | dx | 226       | II     | buono             | FS           | 265     | 83,4%    | buono             |
| LENT010s           |           |       |                                      |                                      | sx | 217       | II     | buono             | FS           | 265     | 80,0%    | buono             |
| LENT011d           | 23-giu-11 | 235   | Inizio cunettone                     | Fine cunettone                       | dx | 65        | IV     | scadente-pessimo  | FS           | 265     | 22,6%    | scadente          |
| LENT011s           |           |       |                                      |                                      | sx | 41        | V      | pessimo           | FS           | 265     | 13,6%    | pessimo           |
| LENT012d           | 23-giu-11 | 92    | Fine cunettone                       | Fine bordura riparia in dx           | dx | 162       | III    | mediocre          | FS           | 265     | 61,1%    | buono-mediocre    |

|          |           |      |                                  |                                     |    |     |        |                   |    |     |       |                   |
|----------|-----------|------|----------------------------------|-------------------------------------|----|-----|--------|-------------------|----|-----|-------|-------------------|
| LENT012s |           |      |                                  |                                     | sx | 187 | II-III | buono-mediocre    | FS | 265 | 70,6% | buono             |
| LENT013d | 23-giu-11 | 117  | Fine bordura<br>riparia in dx    | Fine formazione<br>riparia in sx    | dx | 109 | III-IV | mediocre-scadente | FS | 265 | 41,1% | mediocre          |
| LENT013s |           |      |                                  |                                     | sx | 172 | III    | mediocre          | FS | 265 | 64,9% | buono-mediocre    |
| LENT014d | 23-giu-11 | 101  | Fine formazione<br>riparia in sx | Inizio muro in<br>cemento in sx     | dx | 104 | III-IV | mediocre-scadente | FS | 265 | 39,2% | mediocre-scadente |
| LENT014s |           |      |                                  |                                     | sx | 124 | III    | mediocre          | FS | 265 | 46,8% | mediocre          |
| LENT015d | 23-giu-11 | 73   | Inizio muro in<br>cemento in sx  | Derivazione                         | dx | 102 | III-IV | mediocre-scadente | FS | 265 | 38,5% | mediocre-scadente |
| LENT015s |           |      |                                  |                                     | sx | 127 | III    | mediocre          | FS | 265 | 47,9% | mediocre          |
| LENT016d | 23-giu-11 | 141  | Derivazione                      | Inizio muro in sx                   | dx | 192 | II-III | buono-mediocre    | FS | 265 | 72,5% | buono             |
| LENT016s |           |      |                                  |                                     | sx | 182 | II-III | buono-mediocre    | FS | 265 | 68,7% | buono             |
| LENT017d | 23-giu-11 | 67   | Inizio muro in sx                | Fine muro in sx                     | dx | 207 | II     | buono             | FS | 265 | 78,1% | buono             |
| LENT017s |           |      |                                  |                                     | sx | 177 | III    | mediocre          | FS | 265 | 66,8% | buono-mediocre    |
| LENT018d | 23-giu-11 | 955  | Fine muro in sx                  | Strada lontana in<br>sx             | dx | 246 | II     | buono             | FS | 265 | 92,8% | ottimo            |
| LENT018s |           |      |                                  |                                     | sx | 216 | II     | buono             | FS | 265 | 81,5% | buono             |
| LENT019d | 23-giu-11 | 2045 | Strada lontana in<br>sx          | Inizio strada in sx                 | dx | 256 | I-II   | ottimo-buono      | FS | 265 | 96,6% | ottimo            |
| LENT019s |           |      |                                  |                                     | sx | 256 | I-II   | ottimo-buono      | FS | 265 | 96,6% | ottimo            |
| LENT020d | 23-giu-11 | 363  | Inizio strada in sx              | Strade vicine in dx<br>e sx         | dx | 206 | II     | buono             | FS | 265 | 77,7% | buono             |
| LENT020s |           |      |                                  |                                     | sx | 206 | II     | buono             | FS | 265 | 77,7% | buono             |
| LENT021d | 23-giu-11 | 205  | Strade vicine in<br>dx e sx      | Ponte                               | dx | 171 | III    | mediocre          | FS | 265 | 64,5% | buono-mediocre    |
| LENT021s |           |      |                                  |                                     | sx | 171 | III    | mediocre          | FS | 265 | 64,5% | buono-mediocre    |
| LENT022d | 23-giu-11 | 783  | Ponte                            | Strada lontana in<br>sx             | dx | 221 | II     | buono             | FS | 265 | 83,4% | buono             |
| LENT022s |           |      |                                  |                                     | sx | 231 | II     | buono             | FS | 265 | 87,2% | ottimo            |
| LENT023d | 23-giu-11 | 743  | Strada lontana in<br>sx          | Strada vicina in sx                 | dx | 196 | II-III | buono-mediocre    | MT | 265 | 76,6% | buono             |
| LENT023s |           |      |                                  |                                     | sx | 196 | II-III | buono-mediocre    | MT | 265 | 76,6% | buono             |
| LENT024d | 23-giu-11 | 298  | Strada vicina in<br>sx           | Fine acqua                          | dx | 231 | II     | buono             | MT | 265 | 90,2% | ottimo            |
| LENT024s |           |      |                                  |                                     | sx | 216 | II     | buono             | MT | 265 | 84,4% | ottimo-buono      |
| LENT025d | 23-giu-11 | 2450 | Fine acqua                       | Fine rilevamento<br>(1800 m s.l.m.) | dx |     |        | n. r.             | MT | 265 |       | n. r.             |
| LENT025s |           |      |                                  |                                     | sx |     |        | n. r.             | MT | 265 |       | n. r.             |

## Mappe di funzionalità fluviale reale e relativa

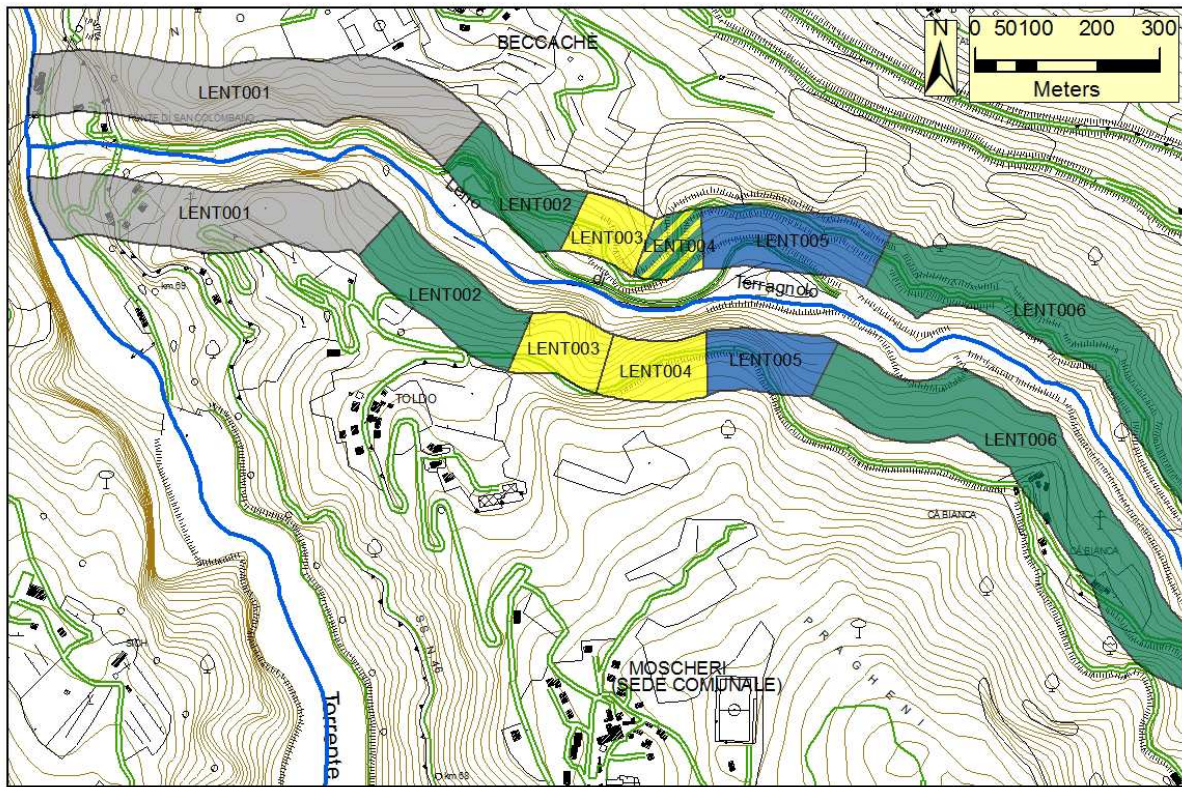


Figura 1a: Cartografia dei risultati IFF reale

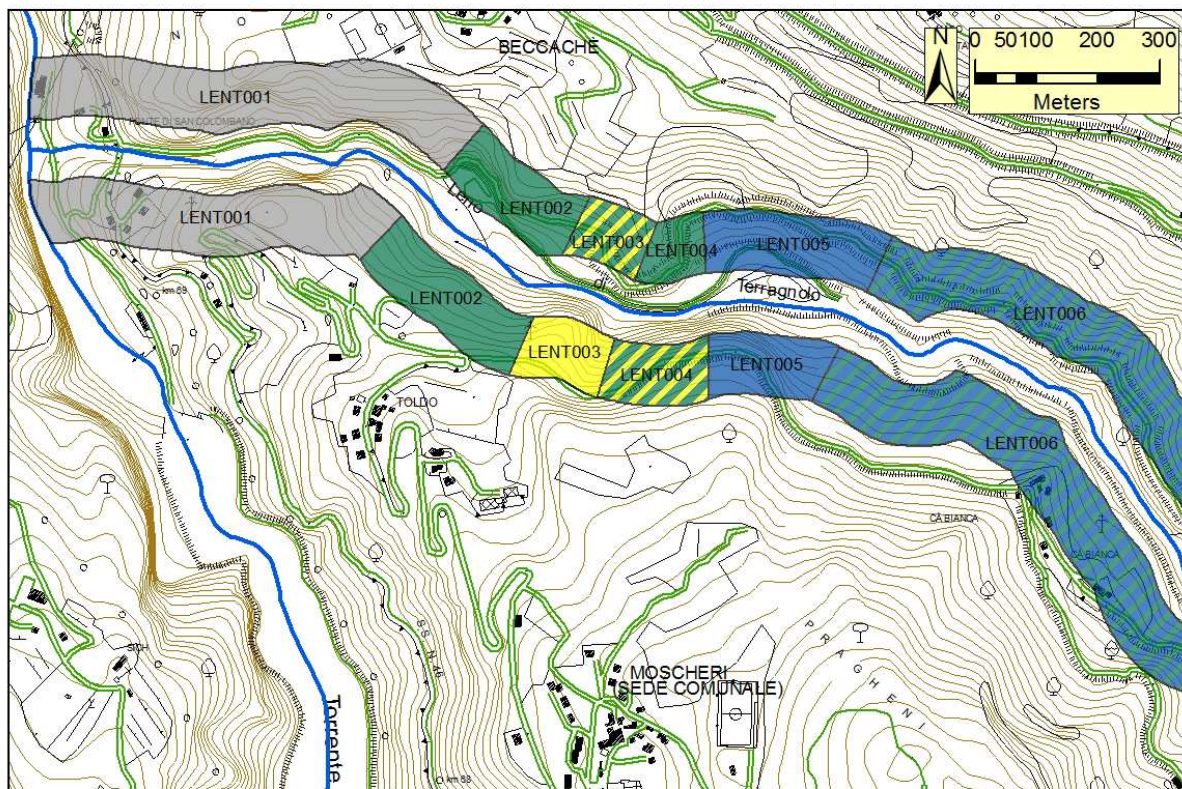


Figura 1b: Cartografia dei risultati IFF relativo



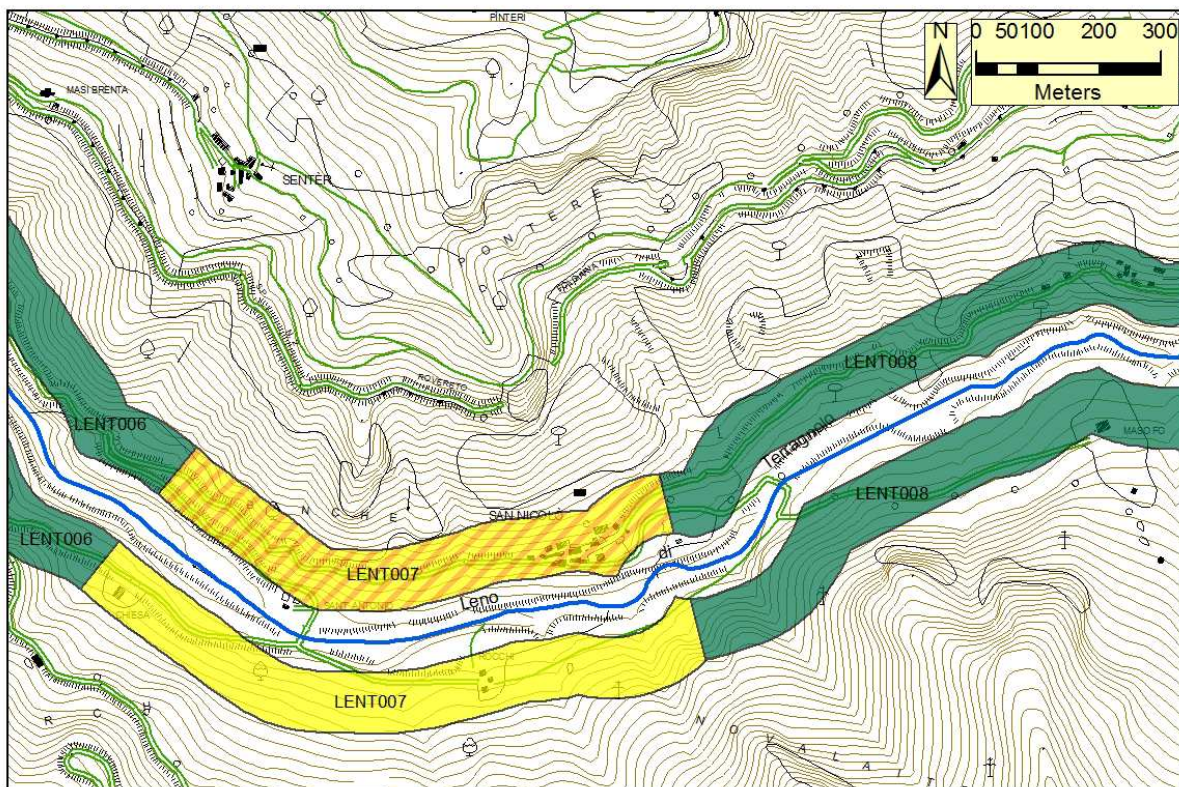


Figura 2a: Cartografia dei risultati IFF reale

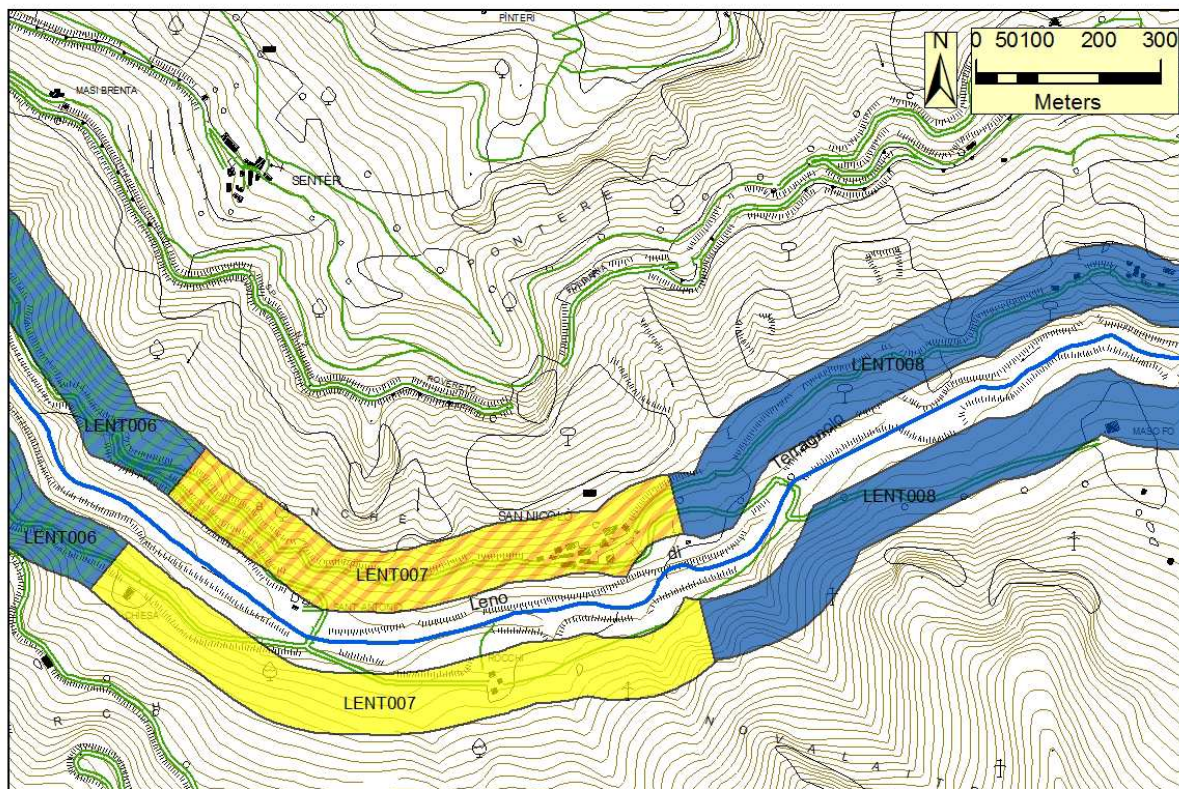


Figura 2b: Cartografia dei risultati IFF relativo



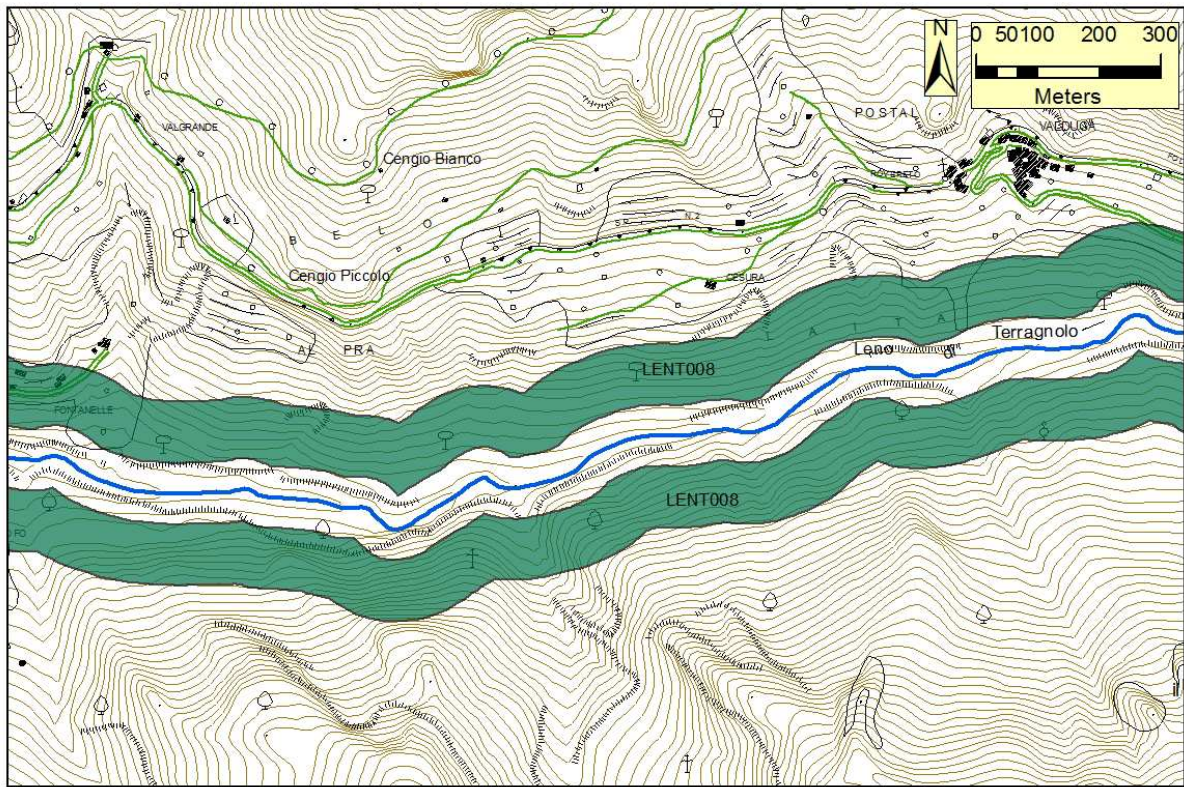


Figura 3a: Cartografia dei risultati IFF reale

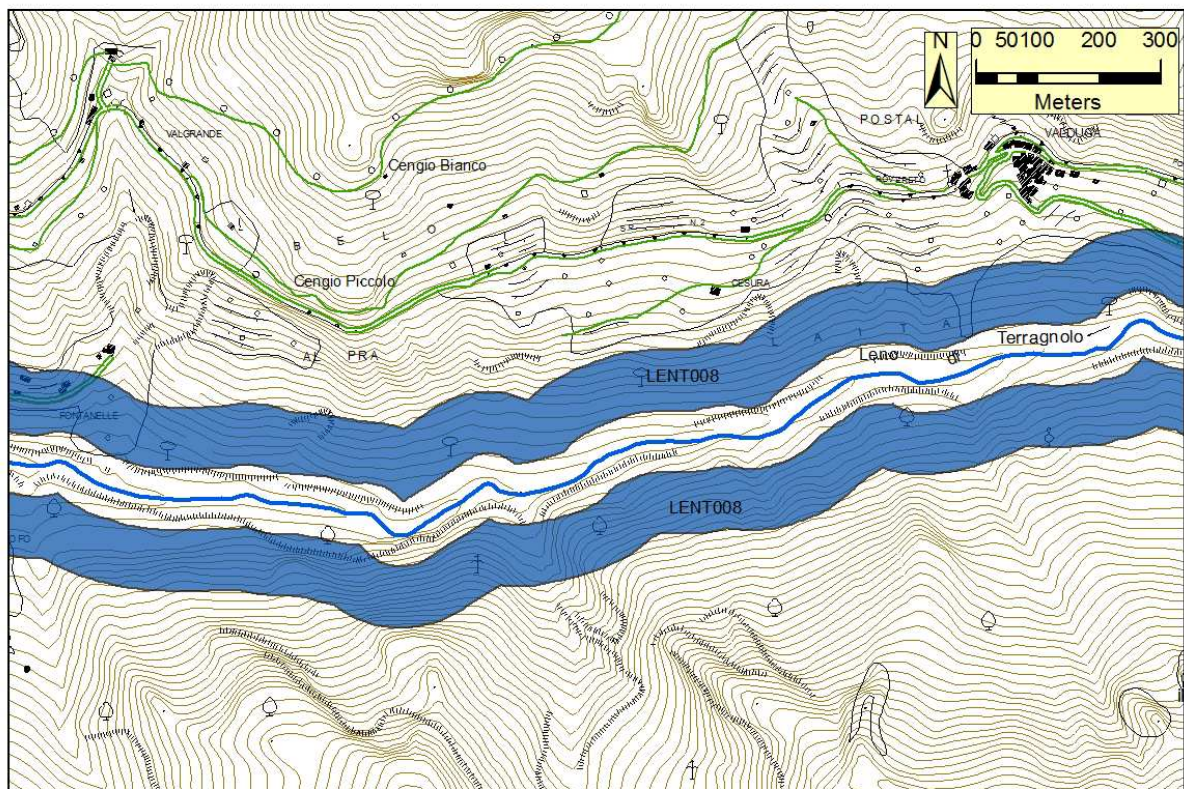


Figura 3b: Cartografia dei risultati IFF relativo



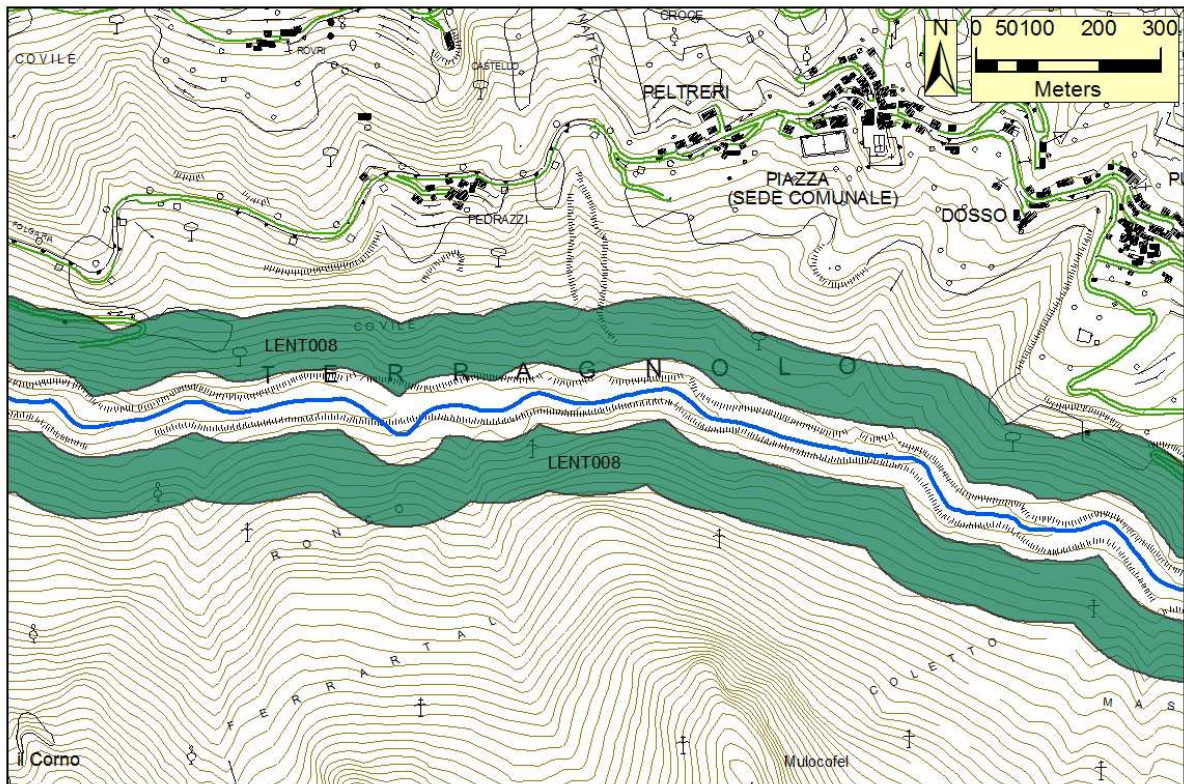


Figura 4a: Cartografia dei risultati IFF reale

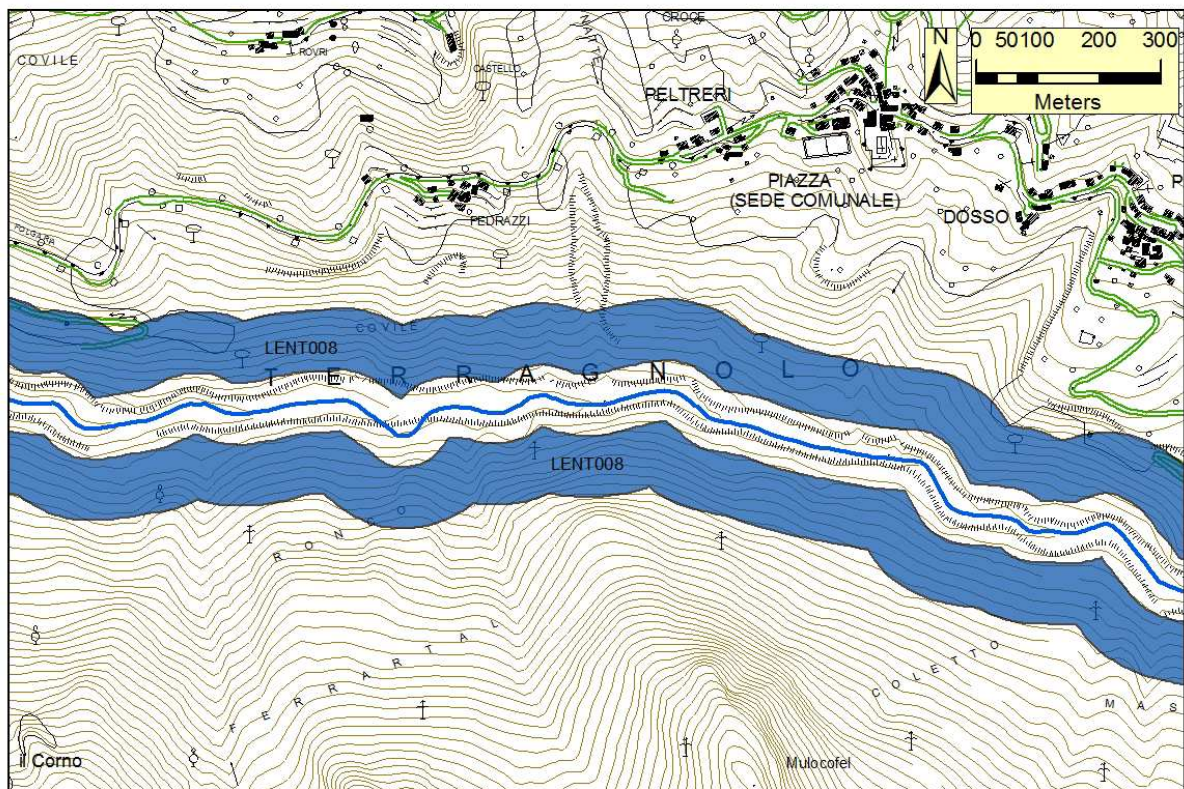


Figura 4b: Cartografia dei risultati IFF relativo



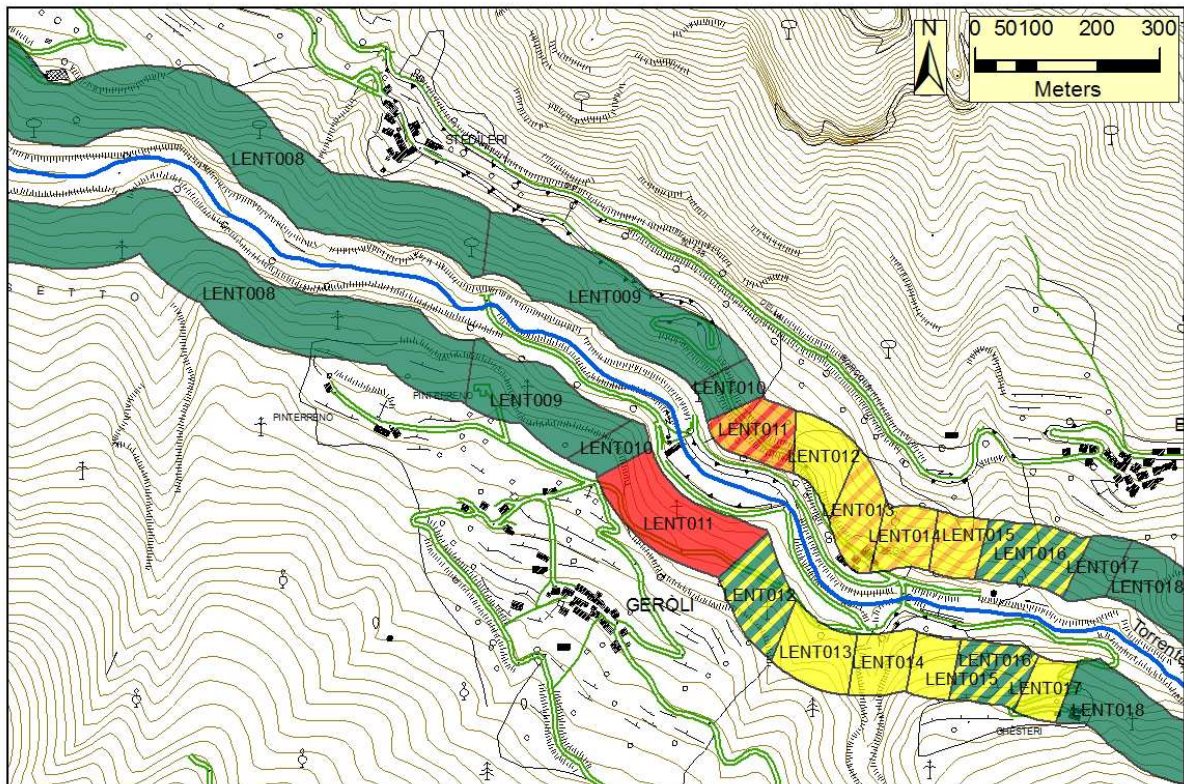


Figura 5a: Cartografia dei risultati IFF reale

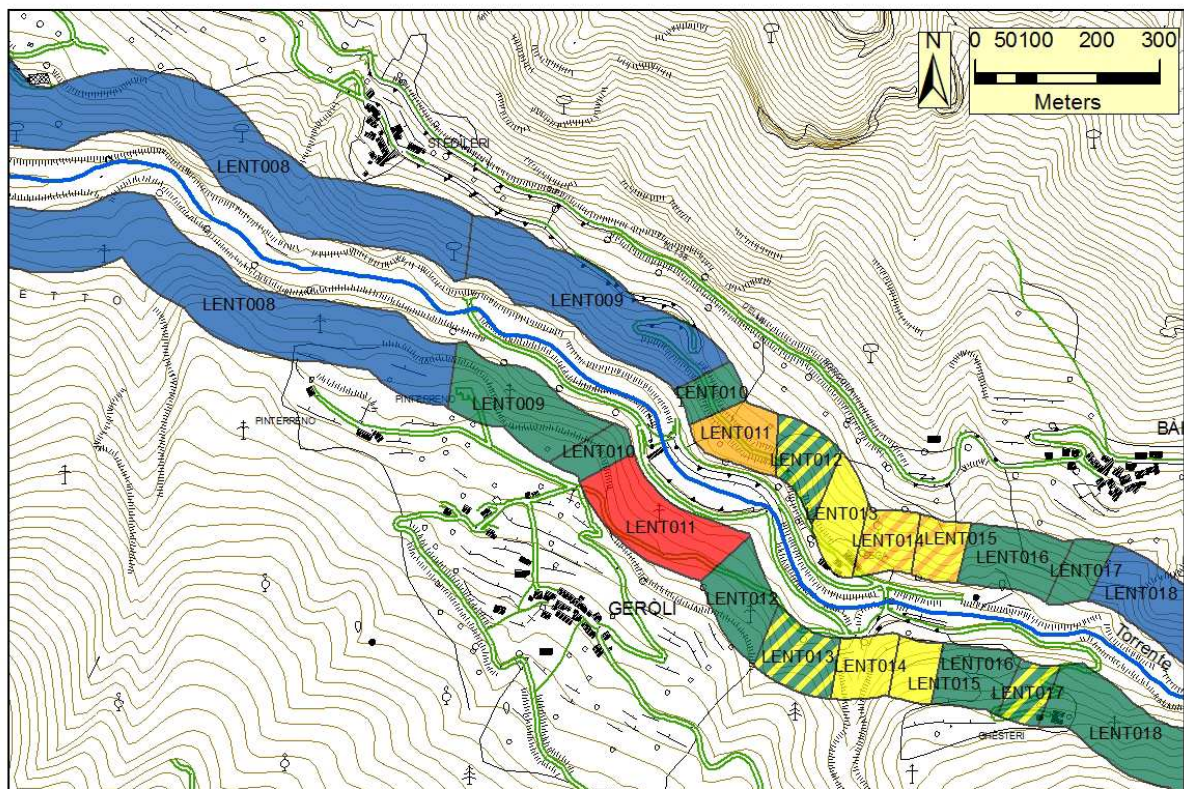


Figura 5b: Cartografia dei risultati IFF relativo



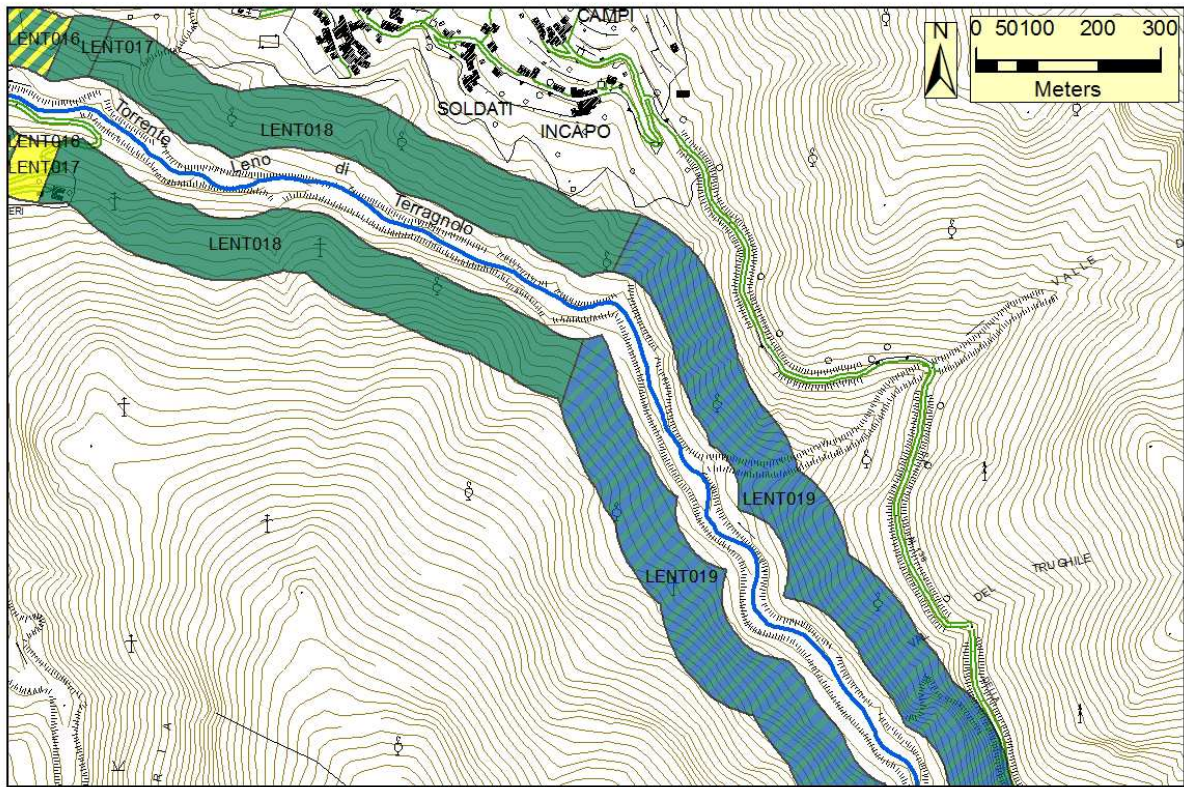


Figura 6a: Cartografia dei risultati IFF reale

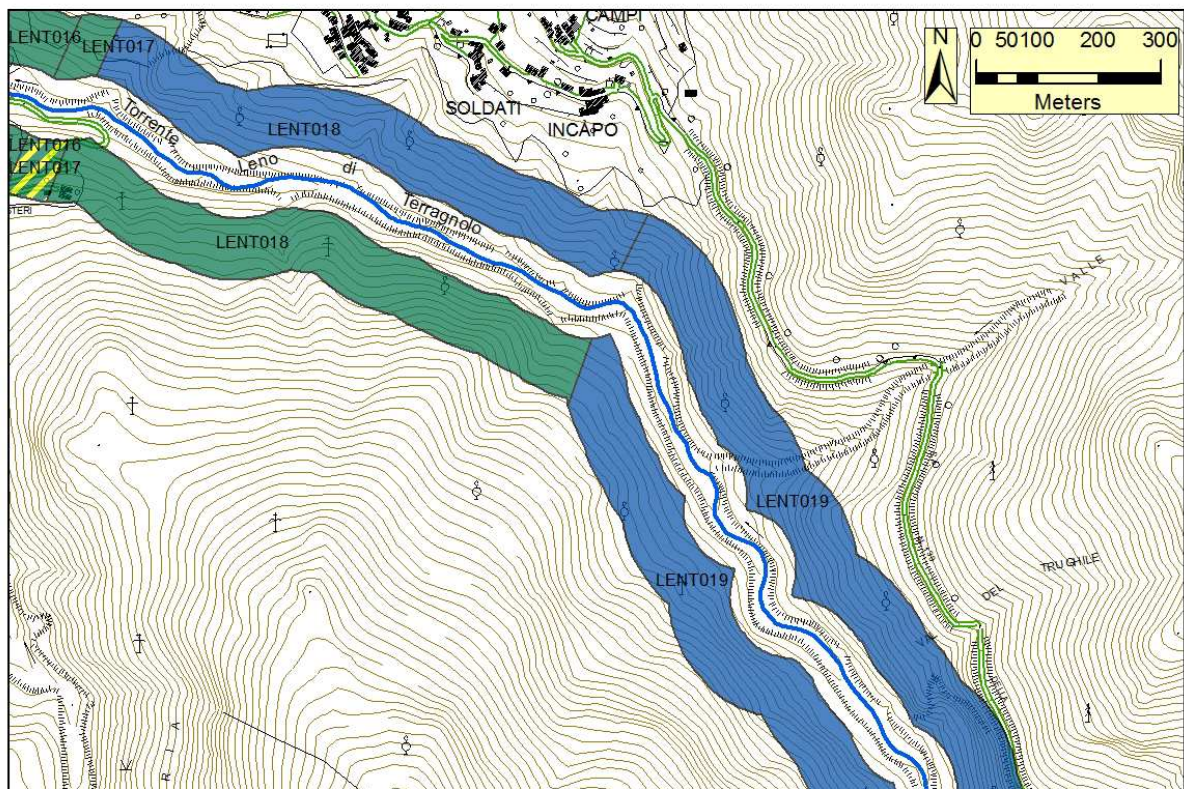


Figura 6b: Cartografia dei risultati IFF relativo





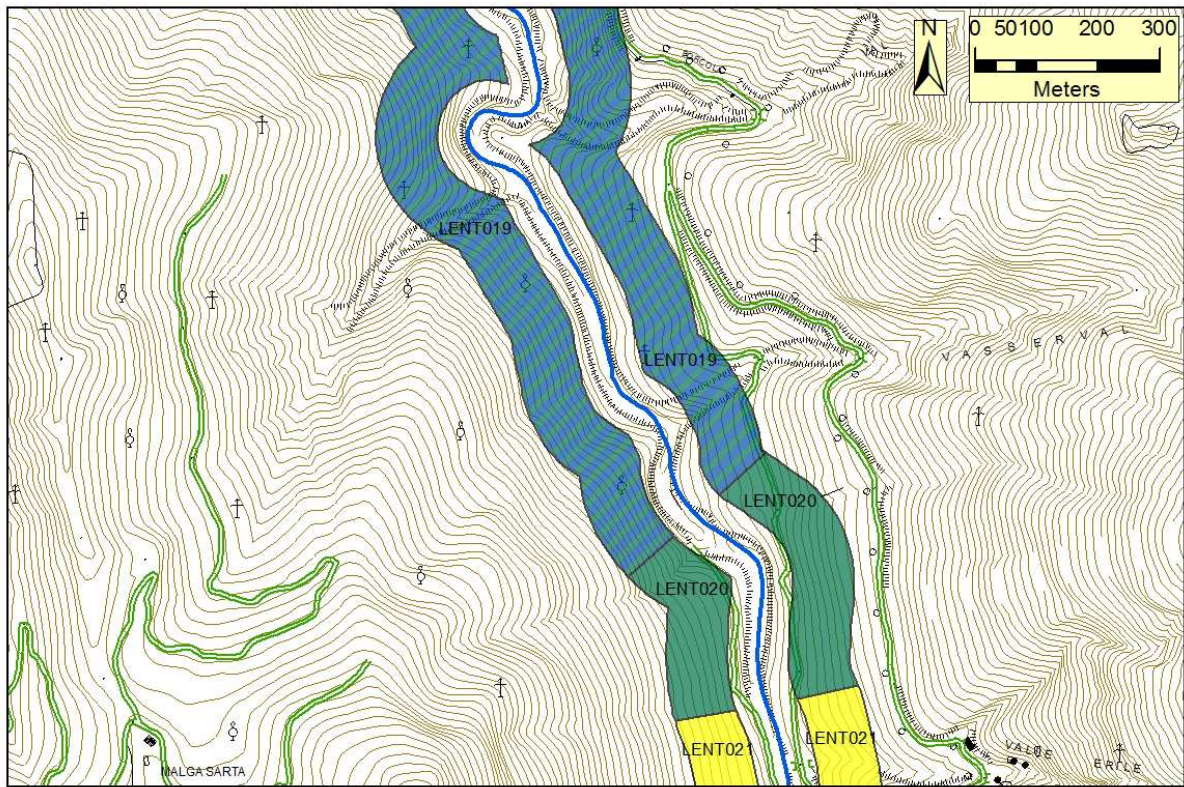


Figura 7a: Cartografia dei risultati IFF reale

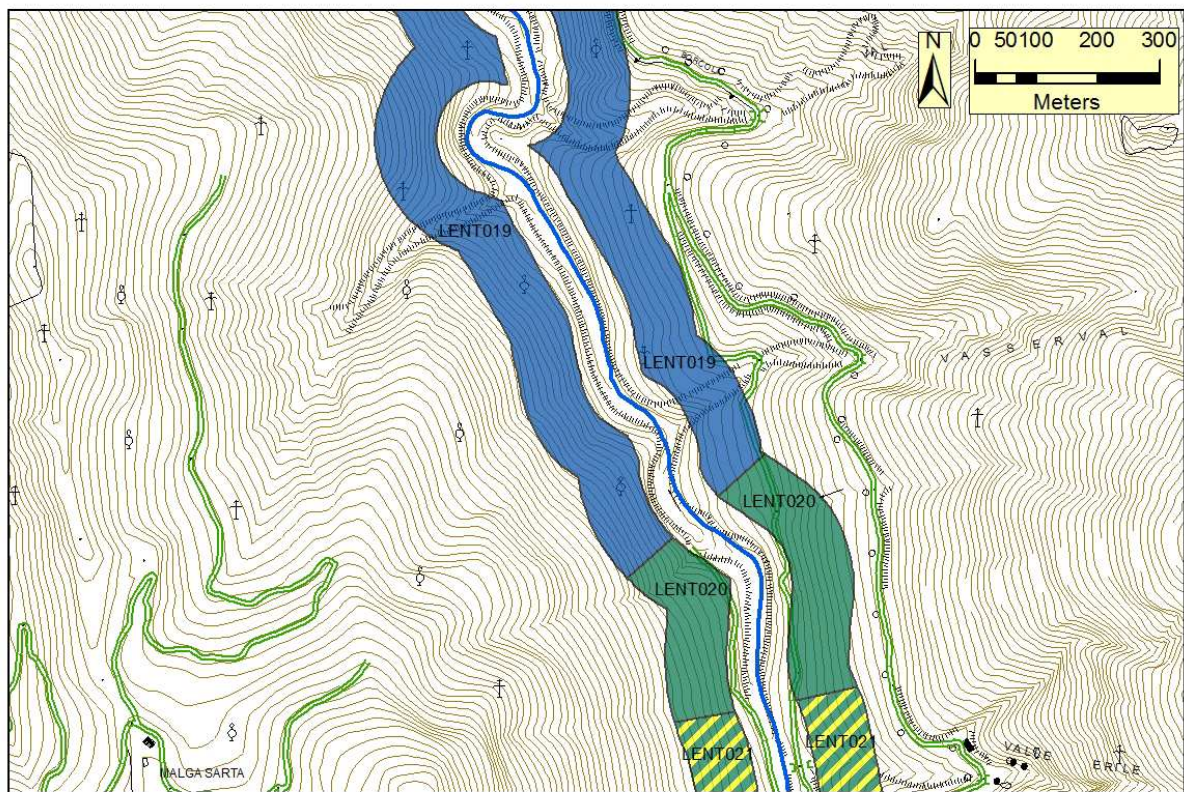


Figura 7b: Cartografia dei risultati IFF relativo



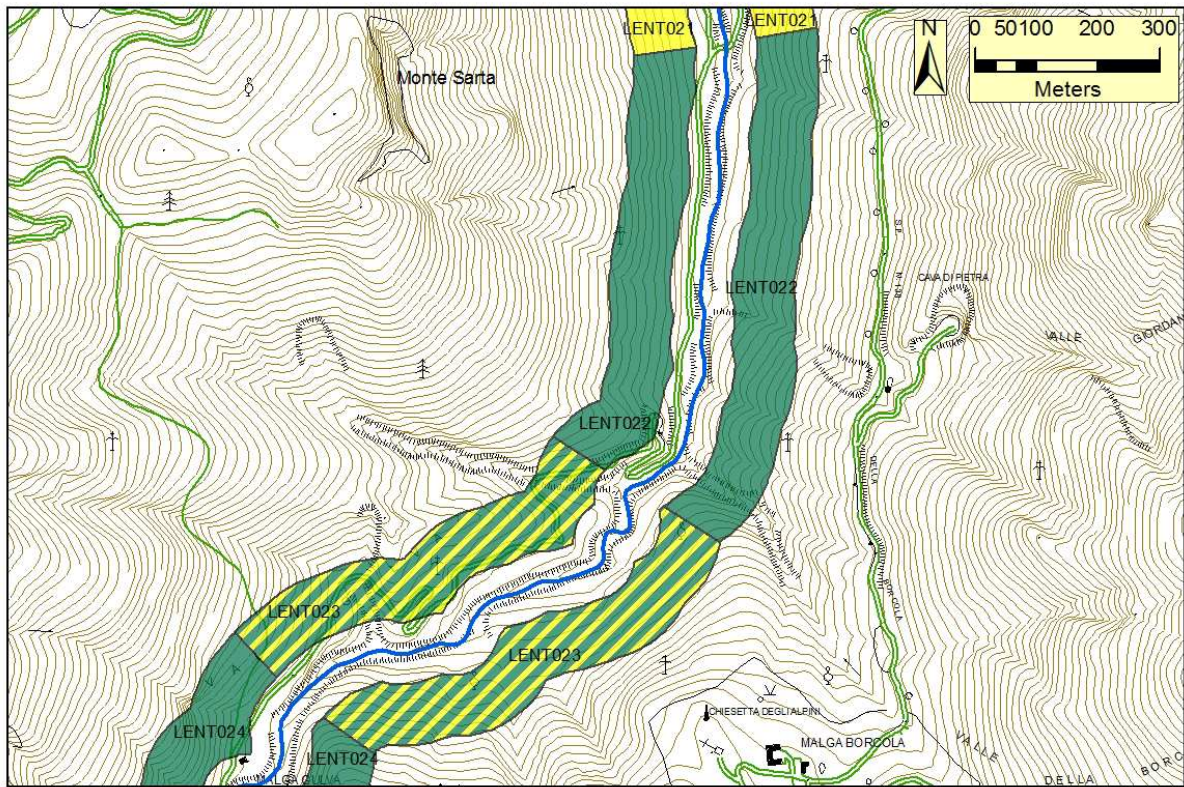


Figura 8a: Cartografia dei risultati IFF reale

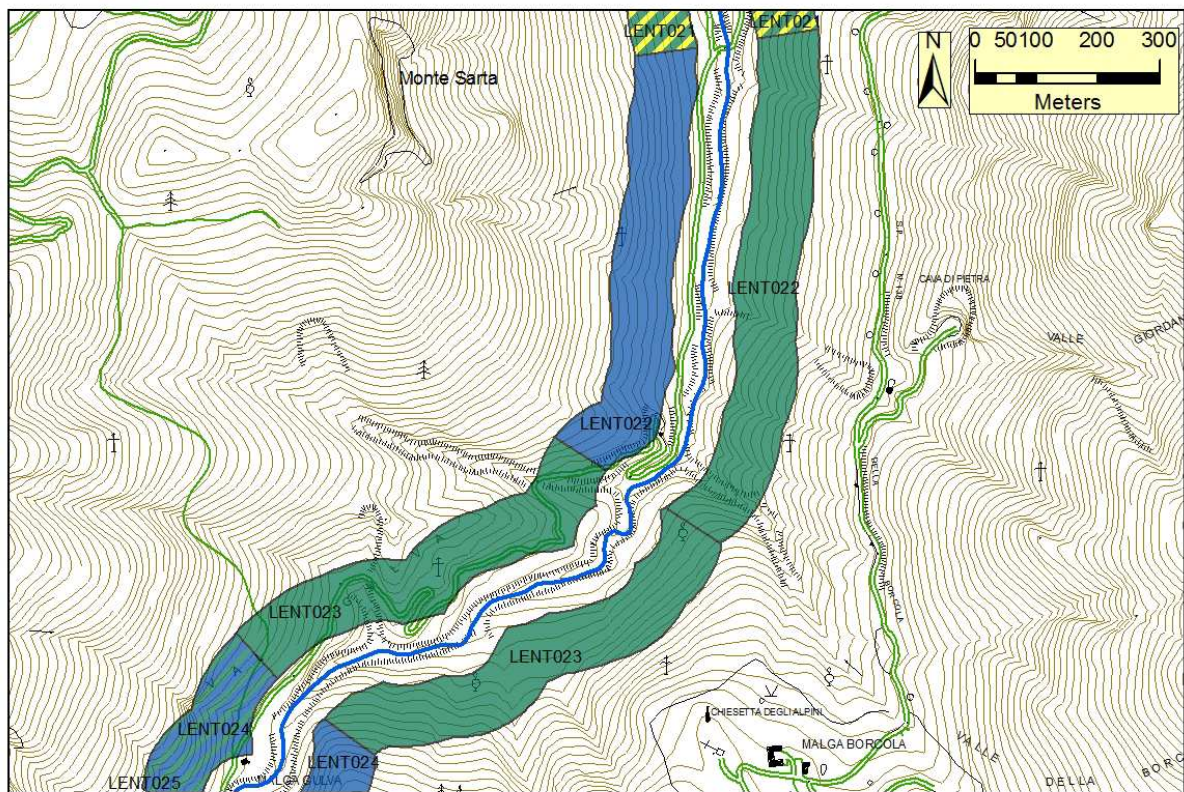


Figura 8b: Cartografia dei risultati IFF relativo



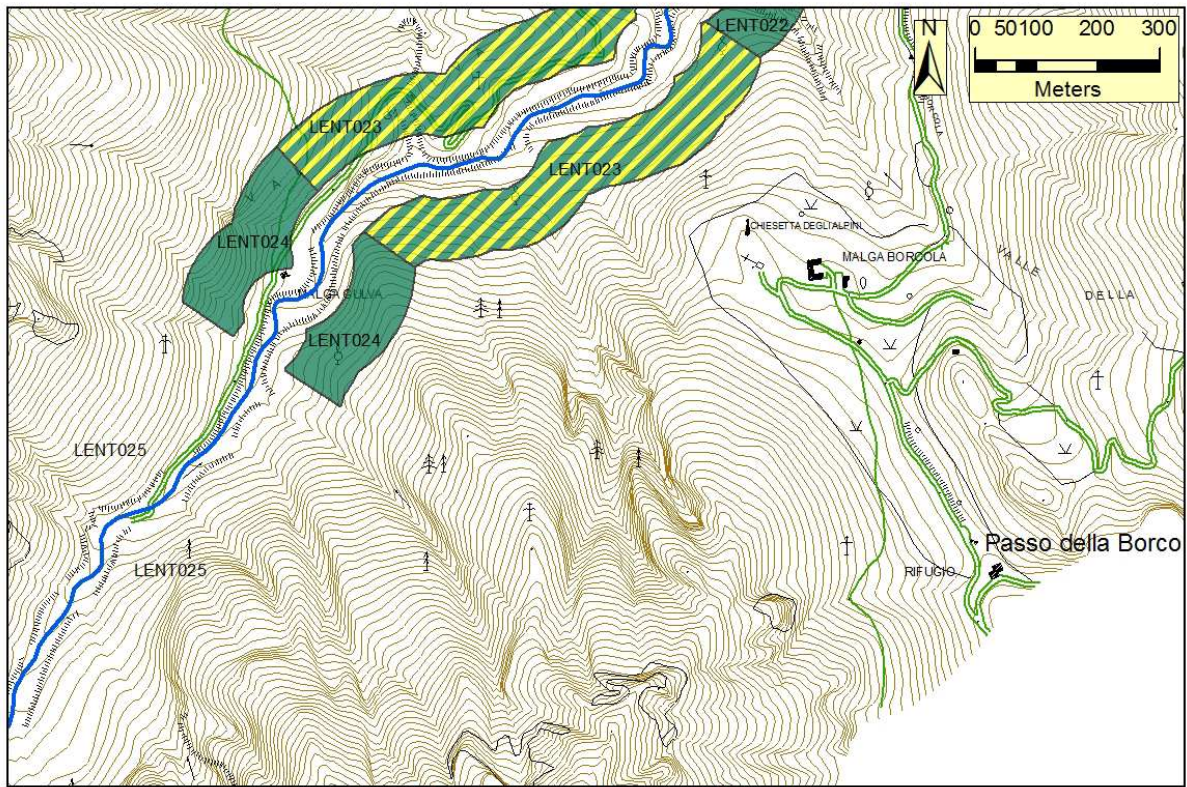


Figura 9a: Cartografia dei risultati IFF reale

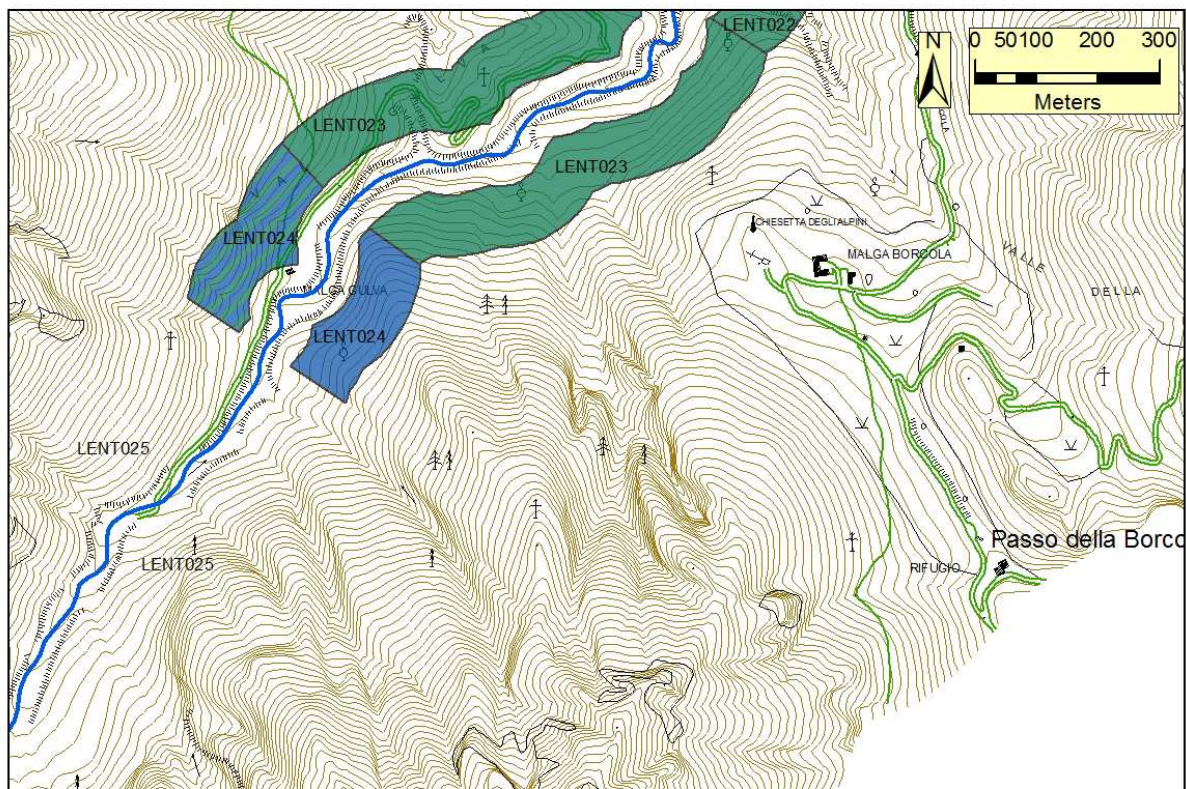


Figura 9b: Cartografia dei risultati IFF relativo



## Documentazione fotografica e descrizione dei tratti

### LENT001

Confluenza Leno di Vallarsa – derivazione (fine forra).

Tratto non rilevato perché non accessibile.

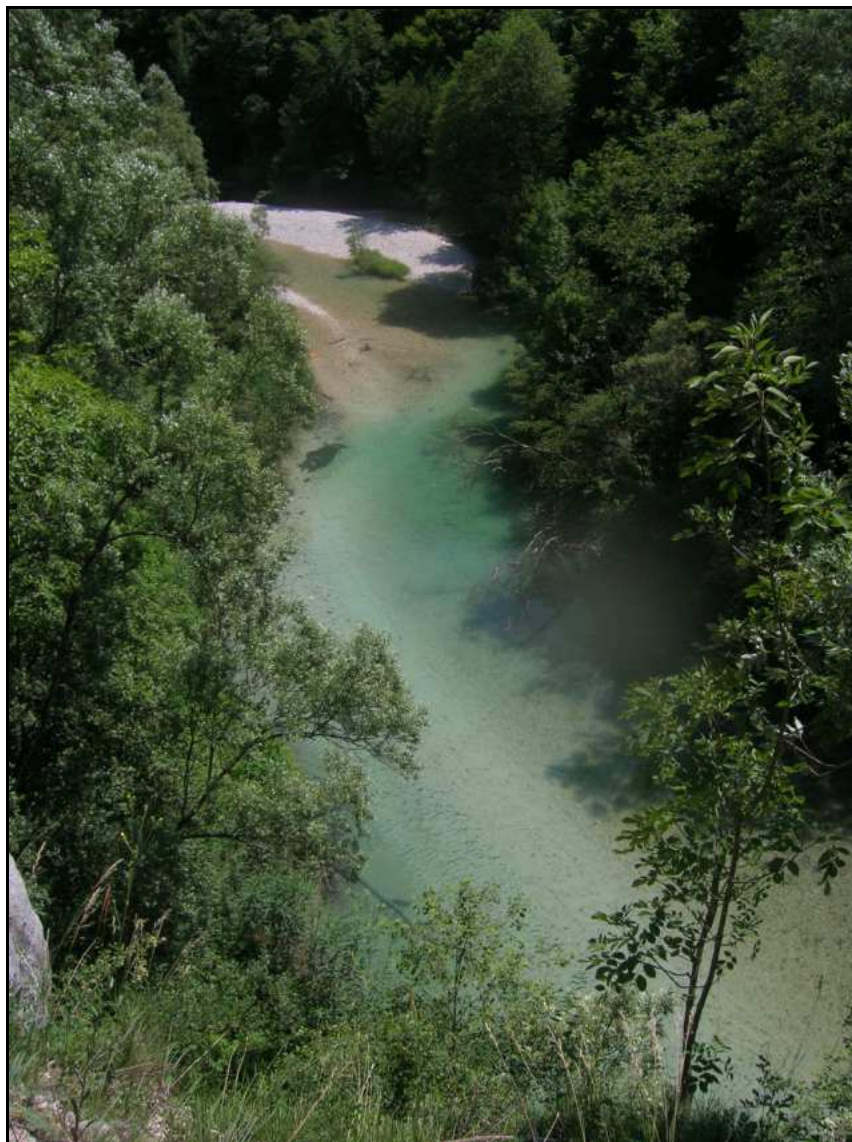
Lungh: 679 m



## LENT002

| LENT002 | 1   | 2   | 2b  | 3   | 4   | 5   | 6   | 7   | 8   | 9   | 10  | 11  | 12  | 13  | 14  | IFF       |         |
|---------|-----|-----|-----|-----|-----|-----|-----|-----|-----|-----|-----|-----|-----|-----|-----|-----------|---------|
|         | TER | VP1 | VP2 | AMP | CON | CID | ESO | RIT | ERO | SEZ | ITT | IDR | CVA | DET | MBT | Punteggio | Livello |
| Dx      | 20  | 25  |     | 15  | 15  | 10  | 15  | 5   | 20  | 20  | 25  | 15  | 15  | 15  | 20  | 235       | II      |
| Sx      | 25  | 25  |     | 15  | 15  | 10  | 15  | 5   | 20  | 20  | 25  | 15  | 15  | 15  | 20  | 240       | II      |

Derivazione (fine forra) – inizio argine in destra; lungh: 261 m



In sponda destra il territorio circostante è caratterizzato da compresenza di aree naturali ed usi antropici del territorio (prati gestiti), mentre in sponda sinistra non vi è antropizzazione. Grazie alla minor pendenza dei versanti rispetto al precedente tratto, si sviluppano formazioni arboree riparie di ampiezza maggiore di 10 metri, in continuità con le formazioni arboree autoctone non riparie che si estendono sui versanti. Non ci sono discontinuità ed il complesso delle formazioni funzionali raggiunge un'ampiezza > 30 m. In questo tratto il corso d'acqua ha la possibilità di espandersi lateralmente (con un alveo di piena ordinaria largo tra 2 e 3 volte l'alveo di morbida) per la presenza di una piana inondabile, messa in evidenza dalla presenza di solchi secondari e zone umide alimentate proprio dal corso d'acqua. Il substrato è costituito principalmente da ciottoli facilmente movibili, con qualche grosso ramo in alveo. L'andamento sinuoso permette la

distinzione di elementi idromorfologici diversificati (lunghi raschi e pozze) ma posti a distanza irregolare. L'erosione è assente e la sezione trasversale integra. L'ombreggiatura molto abbondante, insieme ad adeguate zone rifugio, zone trofiche ed aree per la frega, determinano un'idoneità ittica elevata. Sia la componente vegetale in alveo, sia il detrito non mostrano nessun segno di alterazione, così come la comunità macrobentonica, ben strutturata e diversificata, adeguata alla tipologia fluviale.

## LENT003

| LENT003 | 1   | 2   | 2b  | 3   | 4   | 5   | 6   | 7   | 8   | 9   | 10  | 11  | 12  | 13  | 14  | IFF       |         |
|---------|-----|-----|-----|-----|-----|-----|-----|-----|-----|-----|-----|-----|-----|-----|-----|-----------|---------|
|         | TER | VP1 | VP2 | AMP | CON | CID | ESO | RIT | ERO | SEZ | ITT | IDR | CVA | DET | MBT | Punteggio | Livello |
| Dx      | 25  | 10  |     | 5   | 15  | 10  | 1   | 5   | 1   | 15  | 25  | 5   | 15  | 15  | 20  | 167       | III     |
| Sx      | 25  | 1   |     | 1   | 1   | 10  | 1   | 5   | 20  | 15  | 25  | 5   | 15  | 15  | 20  | 159       | III     |

Inizio argine in destra – briglia filtrante (inizio parete in sinistra); lungh: 134 m



Sia in destra che in sinistra orografica il territorio circostante è naturale, con assenza di antropizzazione. In sinistra il versante roccioso presenta una vegetazione rada, con piccoli arbusti che sporgono dalla roccia, mentre in destra c'è una bordura di arbusti ripari, stretta ma continua. Le condizioni idriche sono influenzate negativamente dalla presenza di derivazioni d'acqua ad uso idroelettrico ed irriguo poste a monte. Qui il corso d'acqua non può più esondare, data l'assenza di una piana inondabile. L'erosione in destra è evitata dall'argine, che svolge anche la funzione di contenimento delle piene; in sinistra non vi sono segni di attività erosiva. La sezione trasversale risulta non del tutto integra ma conserva una discreta diversità morfologica. La presenza di una briglia non superabile non incide sull'idoneità ittica che resta elevata. Prevale un solo elemento idromorfologico, il correntino veloce.

## LENT004

| LENT004   | 1   | 2   | 2b  | 3   | 4   | 5   | 6   | 7   | 8   | 9   | 10  | 11  | 12  | 13  | 14  | IFF       |         |
|---|-----|-----|-----|-----|-----|-----|-----|-----|-----|-----|-----|-----|-----|-----|-----|-----------|---------|
|   | TER | VP1 | VP2 | AMP | CON | CID | ESO | RIT | ERO | SEZ | ITT | IDR | CVA | DET | MBT | Punteggio | Livello |
| Dx  | 25  | 10  |     | 5   | 15  | 10  | 1   | 5   | 20  | 15  | 20  | 15  | 15  | 15  | 20  | 191       | II-III  |
| Sx  | 25  | 1   |     | 1   | 1   | 10  | 1   | 5   | 20  | 15  | 20  | 15  | 15  | 15  | 20  | 164       | III     |
| Briglia filtrante (inizio parete in sinistra) – fine parete in sinistra; lungh: 140 m |     |     |     |     |     |     |     |     |     |     |     |     |     |     |     |           |         |



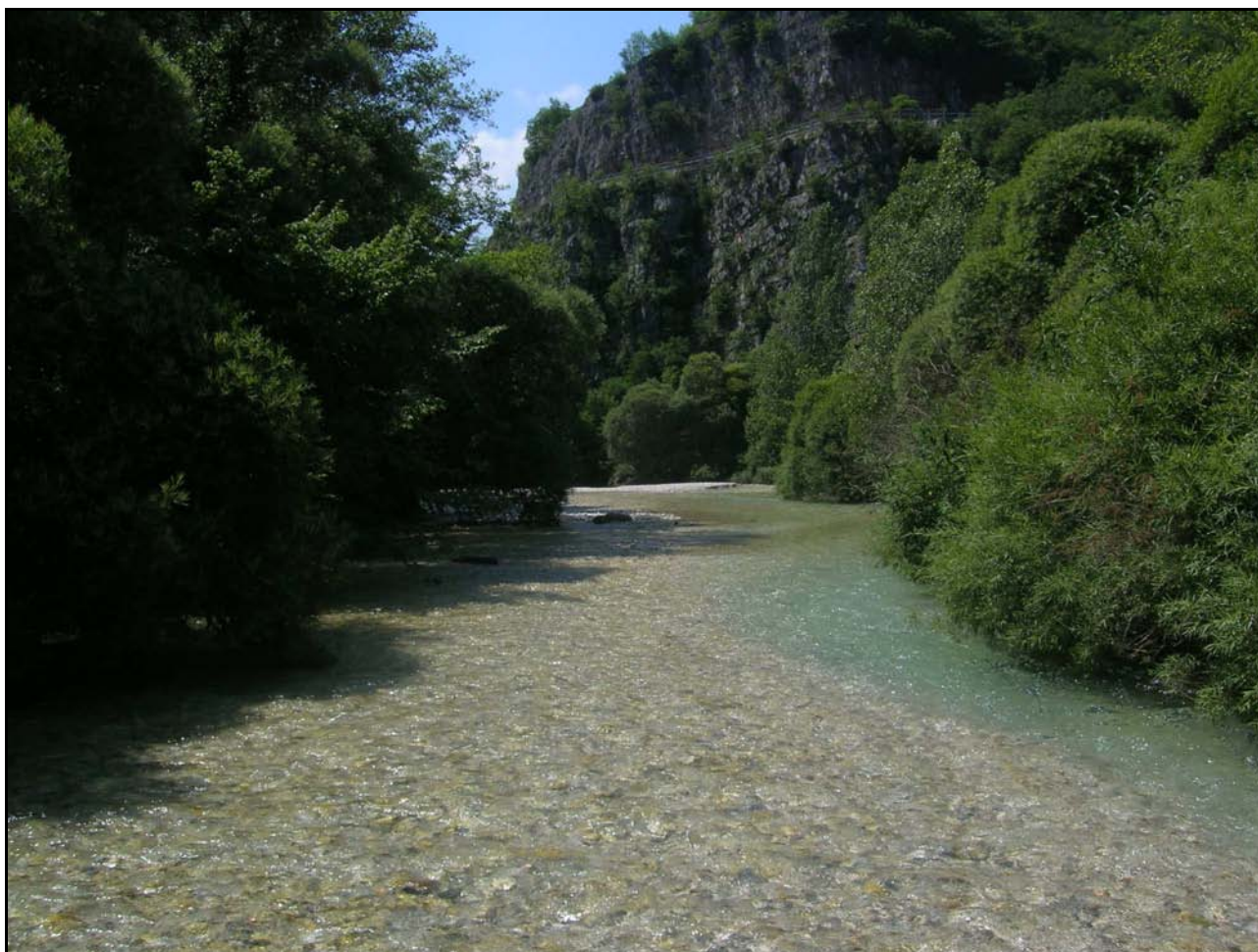
In sinistra è presente una parete rocciosa senza sviluppo di vegetazione che determina una diminuzione di diversità ambientale della sezione trasversale; in destra continua la bordura di specie riparie. L'idoneità ittica diminuisce, diventando discreta, a causa della scarsità di zone rifugio adeguate. In questo tratto aumenta la sinuosità del corso d'acqua che è caratterizzato dalla presenza di più rami. Il campionamento della comunità macrobentonica ha evidenziato la presenza di Plecotteri Nemouridae e Leuctridae, Ditteri Blephariceridae, e Simulidae, Ephemerotteri Baetidae, Tricotteri Ryacophilidae e Hydropsichidae.



## LENT005

| LENT005 | 1   | 2   | 2b  | 3   | 4   | 5   | 6   | 7   | 8   | 9   | 10  | 11  | 12  | 13  | 14  | IFF       | Livello |
|---------|-----|-----|-----|-----|-----|-----|-----|-----|-----|-----|-----|-----|-----|-----|-----|-----------|---------|
|         | TER | VP1 | VP2 | AMP | CON | CID | ESO | RIT | ERO | SEZ | ITT | IDR | CVA | DET | MBT | Punteggio |         |
| Dx      | 25  | 40  |     | 15  | 15  | 10  | 25  | 5   | 20  | 20  | 25  | 20  | 15  | 15  | 20  | 270       | I       |
| Sx      | 25  | 40  |     | 15  | 15  | 10  | 25  | 5   | 20  | 20  | 25  | 20  | 15  | 15  | 20  | 270       | I       |

Fine parete in sinistra – fine piana alluvionale; lungh: 244 m



Questo tratto raggiunge il massimo livello di funzionalità. Sono presenti tre formazioni funzionali: la formazione arbustiva riparia in compresenza con la formazione arborea riparia, seguite, sui versanti, dalla formazione arborea autoctona non riparia. Le formazioni funzionali raggiungono un'ampiezza maggiore di 30 m e sono prive di discontinuità. Il corso d'acqua ha la possibilità di divagare grazie ad un'ampia piana inondabile, che si caratterizza per la presenza di zone umide, solchi secondari e deposito di materiale a granulometria diversa (in particolare limo). Il substrato dell'alveo è costituito da ciottoli, strutture di ritenzione libere e facilmente movibili con le piene. È un tratto ritrale di piana alluvionale, con canali intrecciati con 3 o più barre, che determinano un'idromorfologia molto funzionale. Le componenti biologiche non variano rispetto ai tratti a valle, ovvero presentano una comunità bentonica ben strutturata e con specie sensibili alle turbative.

## LENT006

| LENT006 | 1   | 2   | 2b  | 3   | 4   | 5   | 6   | 7   | 8   | 9   | 10  | 11  | 12  | 13  | 14  | IFF       |         |
|---------|-----|-----|-----|-----|-----|-----|-----|-----|-----|-----|-----|-----|-----|-----|-----|-----------|---------|
|         | TER | VP1 | VP2 | AMP | CON | CID | ESO | RIT | ERO | SEZ | ITT | IDR | CVA | DET | MBT | Punteggio | Livello |
| Dx      | 25  | 25  |     | 15  | 15  | 10  | 1   | 5   | 20  | 20  | 25  | 15  | 15  | 15  | 20  | 226       | II      |
| Sx      | 25  | 25  |     | 15  | 15  | 10  | 1   | 5   | 20  | 20  | 25  | 15  | 15  | 15  | 20  | 226       | II      |

Fine piana alluvionale – inizio muri in destra e sinistra; lungh: 947 m



Il territorio circostante è dominato dal bosco misto. La vegetazione delle due fasce perifluviali è costituita da una formazione arborea riparia in continuità con la formazione arborea autoctona non riparia; per entrambe le sponde l'ampiezza è maggiore di 30 m e non sono presenti interruzioni. Le condizioni idriche risentono del prelievo ad uso idroelettrico effettuato a monte. Il substrato ha una limitata diversificazione, in alveo sono presenti per lo più ciottoli. L'erosione è assente e la sezione trasversale è integra. L'idoneità ittica è elevata e gli elementi idromorfologici sono distinti ma a distanza irregolare. Il comparto biologico non mostra segni di alterazione.

## LENT007

| LENT007 | 1   | 2   | 2b  | 3   | 4   | 5   | 6   | 7   | 8   | 9   | 10  | 11  | 12  | 13  | 14  | IFF       | Livello |
|---------|-----|-----|-----|-----|-----|-----|-----|-----|-----|-----|-----|-----|-----|-----|-----|-----------|---------|
|         | TER | VP1 | VP2 | AMP | CON | CID | ESO | RIT | ERO | SEZ | ITT | IDR | CVA | DET | MBT | Punteggio |         |
| Dx      | 5   |     | 1   | 1   | 1   | 10  | 1   | 15  | 1   | 5   | 20  | 5   | 15  | 15  | 10  | 105       | III-IV  |
| Sx      | 25  |     | 1   | 1   | 1   | 10  | 1   | 15  | 1   | 5   | 20  | 5   | 15  | 15  | 10  | 125       | III     |

Inizio muri in destra e sinistra – fine muri in destra e sinistra; lungh: 994 m



La funzionalità del tratto in esame è fortemente penalizzata dagli interventi di artificializzazione dell'alveo; sulle sponde sono stati costruiti dei muri in massi cementati, inoltre sono presenti diverse soglie e briglie con altezza > 1 m. All'interno dei muri è stata rilevato solo un popolamento vegetale rado. Gli elementi idromorfologici sono indistinti. La comunità macrobentonica è sufficientemente diversificata ma con struttura alterata rispetto l'atteso; questa risulta composta da Ephemeropteri Heptageniidae e Baetidae, Ditteri Simuliidae e Chironomidae ed Oligocheti.

## LENT008

| LENT008 | 1   | 2   | 2b  | 3   | 4   | 5   | 6   | 7   | 8   | 9   | 10  | 11  | 12  | 13  | 14  | IFF       |         |
|---------|-----|-----|-----|-----|-----|-----|-----|-----|-----|-----|-----|-----|-----|-----|-----|-----------|---------|
|         | TER | VP1 | VP2 | AMP | CON | CID | ESO | RIT | ERO | SEZ | ITT | IDR | CVA | DET | MBT | Punteggio | Livello |
| Dx      | 25  | 25  |     | 15  | 15  | 10  | 1   | 25  | 20  | 20  | 20  | 15  | 15  | 15  | 20  | 241       | II      |
| Sx      | 25  | 25  |     | 15  | 15  | 10  | 1   | 25  | 20  | 20  | 20  | 15  | 15  | 15  | 20  | 241       | II      |

Fine muri in destra e sinistra – inizio sentiero in sinistra; lungh: 5900 m



Il territorio circostante dominato dal bosco misto. La vegetazione delle due fasce perifluviali è costituita da una formazione arborea riparia (frassini, ontani, saliconi e carpini) in continuità con la formazione arborea autoctona non riparia (abeti, faggi e noccioli); per entrambe le sponde l'ampiezza è maggiore di 30 m e non sono presenti interruzioni. Le condizioni idriche risentono del prelievo ad uso idroelettrico effettuato a monte. Il substrato dell'alveo è diversificato, con massi stabilmente incassati e tronchi che garantiscono un'elevata ritenzione degli apporti trofici. L'erosione è assente e la sezione trasversale è integra. L'idoneità ittica è buona e gli elementi idromorfologici sono distinti ma a distanza irregolare. Il comparto biologico non mostra segni di alterazione. Il campionamento macrobentonico ha messo in evidenza una comunità ben strutturata con taxa sensibili l'inquinamento, come i Ditteri della famiglia Blephariceridae.

## LENT009

| LENT009 | 1   | 2   | 2b  | 3   | 4   | 5   | 6   | 7   | 8   | 9   | 10  | 11  | 12  | 13  | 14  | IFF       |         |
|---------|-----|-----|-----|-----|-----|-----|-----|-----|-----|-----|-----|-----|-----|-----|-----|-----------|---------|
|         | TER | VP1 | VP2 | AMP | CON | CID | ESO | RIT | ERO | SEZ | ITT | IDR | CVA | DET | MBT | Punteggio | Livello |
| Dx      | 25  | 25  |     | 15  | 15  | 10  | 1   | 25  | 20  | 20  | 25  | 15  | 15  | 15  | 20  | 246       | II      |
| Sx      | 5   | 25  |     | 10  | 10  | 10  | 1   | 25  | 20  | 20  | 25  | 15  | 15  | 15  | 20  | 216       | II      |

Inizio sentiero in sinistra – inizio prato sfalciato in destra; lungh: 352m



In destra il territorio circostante è privo di antropizzazione; in sinistra vi è un'urbanizzazione rada. La fascia perifluviale destra è costituita da una formazione arborea riparia in continuità con la formazione arborea autoctona non riparia; l'ampiezza è maggiore di 30 m e non sono presenti interruzioni. La fascia perifluviale sinistra è costituita da una formazione di arbusti ripari, l'ampiezza è compresa tra i 10 ed i 30 m e le interruzioni sono del 10-25%, prodotte dalla presenza di arbusti di *Robinia pseudoacacia*. Il substrato dell'alveo è diversificato, con massi stabilmente incassati e tronchi che garantiscono un'elevata ritenzione degli apporti trofici. L'erosione è assente e la sezione trasversale è integra. L'idoneità ittica è elevata anche se nel tratto è presente una briglia non superabile (altezza > 1 m); gli elementi idromorfologici sono distinti ma a distanza irregolare. Il comparto biologico non mostra segni di alterazione.

## LENT010

| LENT010 | 1   | 2   | 2b  | 3   | 4   | 5   | 6   | 7   | 8   | 9   | 10  | 11  | 12  | 13  | 14  | IFF       |         |
|---------|-----|-----|-----|-----|-----|-----|-----|-----|-----|-----|-----|-----|-----|-----|-----|-----------|---------|
|         | TER | VP1 | VP2 | AMP | CON | CID | ESO | RIT | ERO | SEZ | ITT | IDR | CVA | DET | MBT | Punteggio | Livello |
| Dx      | 25  | 10  |     | 5   | 15  | 10  | 1   | 25  | 20  | 20  | 25  | 15  | 15  | 15  | 20  | 216       | II      |
| Sx      | 1   | 25  |     | 10  | 10  | 10  | 1   | 25  | 20  | 20  | 25  | 15  | 15  | 15  | 20  | 221       | II      |

Inizio prato sfalciato in destra – inizio cunettone; lungh: 62 m



In sinistra il territorio è urbanizzato, mentre in destra è privo di antropizzazione. La vegetazione in sponda destra è costituita da una bordura di arbusti ripari (ampiezza 2-5 m e continua); la vegetazione della sponda sinistra invece è costituita da una formazione di arbusti ripari (ampiezza 10-30 m ed interruzioni del 10-25% per arbusti di *Robinia pseudoacacia*). Non si riportano ulteriori differenze rispetto il tratto precedente.  
(Foto scattata verso valle).

## LENT011

| LENT011   | 1   | 2   | 2b  | 3   | 4   | 5   | 6   | 7   | 8   | 9   | 10  | 11  | 12  | 13  | 14  | IFF       | Livello |
|---|-----|-----|-----|-----|-----|-----|-----|-----|-----|-----|-----|-----|-----|-----|-----|-----------|---------|
|   | TER | VP1 | VP2 | AMP | CON | CID | ESO | RIT | ERO | SEZ | ITT | IDR | CVA | DET | MBT | Punteggio |         |
| Dx  | 25  |     | 1   | 1   | 1   | 5   | 1   | 1   | 1   | 1   | 1   | 1   | 5   | 15  | 1   | 60        | IV-V    |
| Sx  | 1   |     | 1   | 1   | 1   | 5   | 1   | 1   | 1   | 1   | 1   | 1   | 5   | 15  | 1   | 36        | V       |
| Inizio cunettone – fine cunettone; lungh: 235 m |     |     |     |     |     |     |     |     |     |     |     |     |     |     |     |           |         |

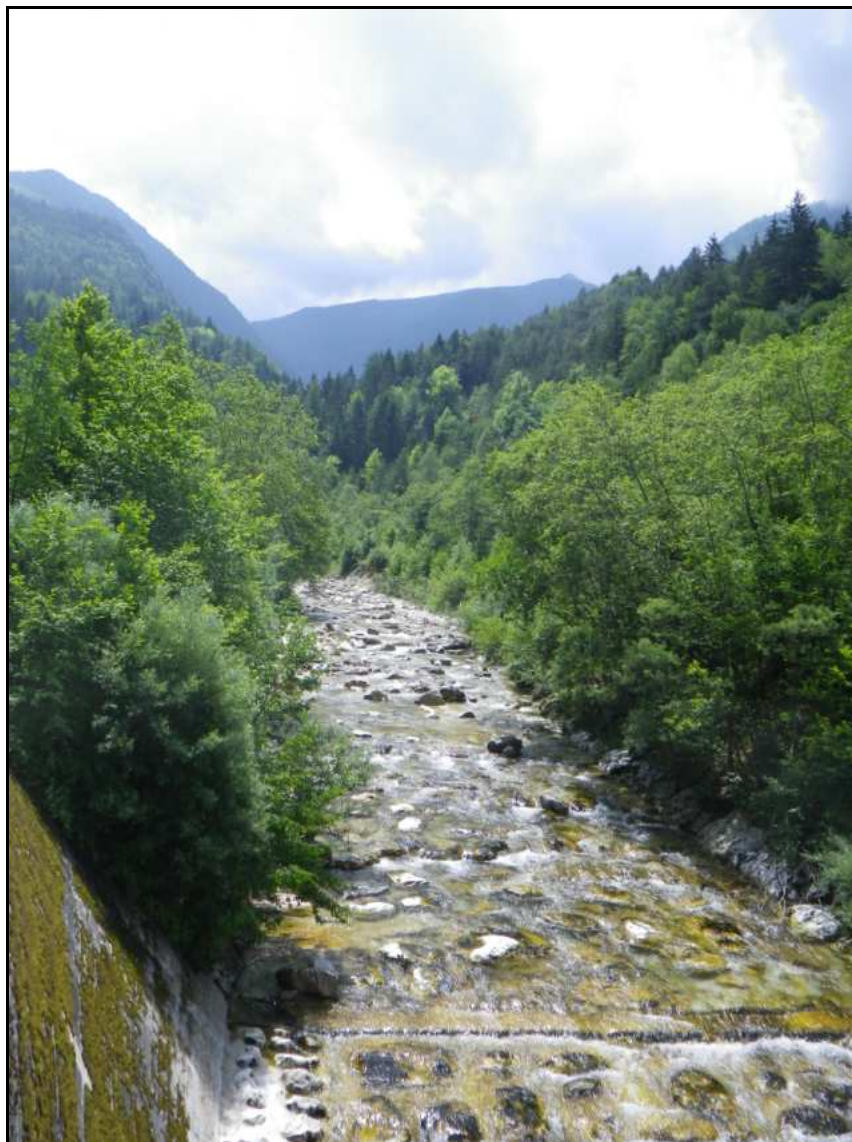


Il tratto si caratterizza per essere un cunettone. La presenza degli argini non permette al fiume di esondare, annullando il naturale svolgimento del processo di erosione e banalizzando la diversità della sezione trasversale. La funzionalità è completamente alterata.

## LENT012

| LENT012 | 1   | 2   | 2b  | 3   | 4   | 5   | 6   | 7   | 8   | 9   | 10  | 11  | 12  | 13  | 14  | IFF       | Livello |
|---------|-----|-----|-----|-----|-----|-----|-----|-----|-----|-----|-----|-----|-----|-----|-----|-----------|---------|
|         | TER | VP1 | VP2 | AMP | CON | CID | ESO | RIT | ERO | SEZ | ITT | IDR | CVA | DET | MBT | Punteggio |         |
| Dx      | 25  | 10  |     | 5   | 15  | 10  | 1   | 15  | 1   | 5   | 25  | 15  | 15  | 15  | 5   | 162       | III     |
| Sx      | 25  | 25  |     | 15  | 15  | 10  | 1   | 15  | 1   | 5   | 25  | 15  | 15  | 15  | 5   | 187       | II-III  |

Fine cunettone – fine bordura riparia in destra; lungh: 92 m



Il territorio circostante è privo di antropizzazione, è presente un bosco di conifere. La vegetazione è primaria e costituita in destra da una bordura di arbusti ripari (ampiezza 2-5 m, continua); in sinistra la vegetazione è costituita da una formazione di arbusti ripari in continuità con la formazione arborea autoctona non riparia (ampiezza > 30 m, continua). Il fondo è stabile, con massi incassati e ciottoli che garantiscono una buona ritenzione degli apporti trofici. La presenza di scogliere in massi a secco non permette al fiume di esondare, annullando il naturale svolgimento del processo di erosione e banalizzando la diversità della sezione trasversale. L'idoneità ittica è elevata e gli elementi idromorfologici sono distinti ma a distanza irregolare. La comunità macrobentonica mostra chiari segni di alterazione e risulta composta da pochi taxa tutti tolleranti l'inquinamento.



## LENT013

| LENT013  | 1   | 2   | 2b  | 3   | 4   | 5   | 6   | 7   | 8   | 9   | 10  | 11  | 12  | 13  | 14  | IFF       | Livello |
|--|-----|-----|-----|-----|-----|-----|-----|-----|-----|-----|-----|-----|-----|-----|-----|-----------|---------|
|  | TER | VP1 | VP2 | AMP | CON | CID | ESO | RIT | ERO | SEZ | ITT | IDR | CVA | DET | MBT | Punteggio |         |
| Dx   | 5   | 1   |     | 1   | 5   | 10  | 1   | 15  | 1   | 5   | 20  | 15  | 10  | 15  | 5   | 109       | III-IV  |
| Sx   | 25  | 25  |     | 10  | 15  | 10  | 1   | 15  | 1   | 5   | 20  | 15  | 10  | 15  | 5   | 172       | III     |
| Fine bordura riparia in destra – fine formazione riparia in sinistra; lungh: 117 m |     |     |     |     |     |     |     |     |     |     |     |     |     |     |     |           |         |



In destra vi è un'urbanizzazione rada mentre in sinistra prosegue il bosco di conifere. In destra la vegetazione presente è una bordura erbacea non igrofila con funzionalità nulla. In sinistra la vegetazione è costituita da una formazione di arbusti ripari in continuità con la formazione arborea autoctona non riparia (ampiezza > 30 m, continua), individuata anche nel tratto precedente. In alveo sono presenti delle alghe filamentose ed il periphyton costituisce una patina tridimensionale. La comunità macrobentonica campionata risulta composta da Efemeroteri Baetidae; Tricotteri Rhyacophilidae; Ditteri Simuliidae, Chironomide, Athericidae e Tipulidae; Oligocheti Lumbricidae.

## LENT014

| LENT014  | 1   | 2   | 2b  | 3   | 4   | 5   | 6   | 7   | 8   | 9   | 10  | 11  | 12  | 13  | 14  | IFF       | Livello |
|--|-----|-----|-----|-----|-----|-----|-----|-----|-----|-----|-----|-----|-----|-----|-----|-----------|---------|
|  | TER | VP1 | VP2 | AMP | CON | CID | ESO | RIT | ERO | SEZ | ITT | IDR | CVA | DET | MBT | Punteggio |         |
| Dx   | 5   | 1   |     | 1   | 5   | 10  | 1   | 15  | 1   | 5   | 20  | 15  | 5   | 15  | 5   | 104       | III-IV  |
| Sx   | 25  | 1   |     | 1   | 5   | 10  | 1   | 15  | 1   | 5   | 20  | 15  | 5   | 15  | 5   | 124       | III     |
| Fine formazione riparia in sinistra – inizio muro in cemento in sinistra; lungh: 101 m |     |     |     |     |     |     |     |     |     |     |     |     |     |     |     |           |         |



La vegetazione della fascia perifluviale è primaria ed è costituita per entrambe le sponde solo da una bordura di erbacee non igrofile. Il fondo è stabile, con massi incassati e ciottoli che garantiscono una buona ritenzione degli apporti trofici. La presenza di scogliere in massi a secco non permette al fiume di esondare, annullando il naturale svolgimento del processo di erosione e banalizzando la diversità della sezione trasversale. Inoltre nel tratto sono presenti due briglie di altezza maggiore di un metro, ostacolo insuperabile per i pesci.

## LENT015

| LENT015   | 1   | 2   | 2b  | 3   | 4   | 5   | 6   | 7   | 8   | 9   | 10  | 11  | 12  | 13  | 14  | IFF       |         |
|---|-----|-----|-----|-----|-----|-----|-----|-----|-----|-----|-----|-----|-----|-----|-----|-----------|---------|
|   | TER | VP1 | VP2 | AMP | CON | CID | ESO | RIT | ERO | SEZ | ITT | IDR | CVA | DET | MBT | Punteggio | Livello |
| Dx  | 5   | 10  |     | 5   | 5   | 10  | 1   | 5   | 1   | 5   | 20  | 5   | 10  | 15  | 5   | 102       | III-IV  |
| Sx  | 25  |     | 5   | 5   | 15  | 10  | 1   | 5   | 1   | 5   | 20  | 5   | 10  | 15  | 5   | 127       | III     |
| Inizio muro in cemento in sinistra – derivazione; lungh: 73 m |     |     |     |     |     |     |     |     |     |     |     |     |     |     |     |           |         |



La vegetazione in destra è primaria e costituita da una bordura di arbusti ripari (ampiezza 2-5 m; interruzioni > 15% per suolo nudo). Al contrario, la vegetazione in sinistra è secondaria e costituita sempre da una bordura di arbusti ripari (ampiezza 2-5 m; continua). Le due sponde hanno subito interventi di artificializzazione, in destra è presente un muro a secco mentre in sinistra un argine impermeabile. Il fondo dell'alveo è il solo a mantenere un residuo di naturalità. La componente biologica ricalca quanto osservato per il tratto precedente.

## LENT016

| LENT016   | 1   | 2   | 2b  | 3   | 4   | 5   | 6   | 7   | 8   | 9   | 10  | 11  | 12  | 13  | 14  | IFF       |         |
|---|-----|-----|-----|-----|-----|-----|-----|-----|-----|-----|-----|-----|-----|-----|-----|-----------|---------|
|   | TER | VP1 | VP2 | AMP | CON | CID | ESO | RIT | ERO | SEZ | ITT | IDR | CVA | DET | MBT | Punteggio | Livello |
| Dx  | 20  | 25  |     | 5   | 15  | 20  | 1   | 15  | 1   | 5   | 20  | 15  | 15  | 15  | 20  | 192       | II-III  |
| Sx  | 25  | 10  |     | 5   | 15  | 20  | 1   | 15  | 1   | 5   | 20  | 15  | 15  | 15  | 20  | 182       | II-III  |
| Derivazione – inizio muro in sinistra; lungh: 141 m |     |     |     |     |     |     |     |     |     |     |     |     |     |     |     |           |         |



In destra sono presenti delle praterie antropiche, in sinistra prosegue il bosco di conifere. La fascia perfluviale destra è costituita da una formazione di salici arbustivi, priva di interruzioni e di ampiezza compresa tra i 5 e i 10 m, la limitazione è causata dai prati. La fascia della sponda sinistra è costituita da una bordura riparia, continua e di ampiezza compresa tra i 2 e i 5 m, tale limitazione è prodotta dalla strada forestale che costeggia il corso d'acqua. Da questo tratto in poi le portate sono stabili, con fluttuazioni stagionali non estreme. Il fondo è stabile, con massi incassati e ciottoli che garantiscono una buona ritenzione degli apporti trofici. La presenza di scogliere in massi a secco non permette al fiume di esondare, annullando il naturale svolgimento del processo di erosione e banalizzando la diversità della sezione trasversale. L'idoneità ittica è buona e gli elementi idromorfologici sono distinti ma a distanza irregolare. Il comparto biologico non mostra segni di alterazione.

## LENT017

| LENT017  | 1   | 2   | 2b  | 3   | 4   | 5   | 6   | 7   | 8   | 9   | 10  | 11  | 12  | 13  | 14  | IFF       |         |
|--|-----|-----|-----|-----|-----|-----|-----|-----|-----|-----|-----|-----|-----|-----|-----|-----------|---------|
|  | TER | VP1 | VP2 | AMP | CON | CID | ESO | RIT | ERO | SEZ | ITT | IDR | CVA | DET | MBT | Punteggio | Livello |
| Dx   | 25  | 25  |     | 15  | 15  | 20  | 1   | 15  | 1   | 5   | 20  | 15  | 15  | 15  | 20  | 207       | II      |
| Sx   | 25  |     | 5   | 5   | 15  | 20  | 1   | 15  | 1   | 5   | 20  | 15  | 15  | 15  | 20  | 177       | III     |
| Inizio muro in sinistra – fine muro in sinistra; lungh: 67 m |     |     |     |     |     |     |     |     |     |     |     |     |     |     |     |           |         |



Il territorio circostante è privo di antropizzazione. In destra la vegetazione è costituita da una formazione di arbusti ripari in continuità con la formazione arborea autoctona non riparia (ampiezza > 30 m, continua). In sinistra invece la vegetazione è secondaria e costituita solo da una bordura di arbusti ripari (ampiezza 2-5 m, continua). Le due sponde hanno subito interventi di artificializzazione, in destra è presente un muro a secco mentre in sinistra un argine impermeabile. Il fondo dell'alveo è il solo a mantenere un residuo di naturalità. Il comparto biologico non mostra segni di alterazione.

## LENT018

| LENT018 | 1   | 2   | 2b  | 3   | 4   | 5   | 6   | 7   | 8   | 9   | 10  | 11  | 12  | 13  | 14  | IFF       |         |
|---------|-----|-----|-----|-----|-----|-----|-----|-----|-----|-----|-----|-----|-----|-----|-----|-----------|---------|
|         | TER | VP1 | VP2 | AMP | CON | CID | ESO | RIT | ERO | SEZ | ITT | IDR | CVA | DET | MBT | Punteggio | Livello |
| Dx      | 25  | 25  |     | 15  | 15  | 20  | 1   | 25  | 15  | 20  | 20  | 15  | 15  | 15  | 20  | 246       | II      |
| Sx      | 25  | 10  |     | 5   | 10  | 20  | 1   | 25  | 15  | 20  | 20  | 15  | 15  | 15  | 20  | 216       | II      |

Fine muro in sinistra – strada lontana in sinistra; lungh: 955 m



In destra la vegetazione è costituita da una formazione di arbusti ripari in continuità con la formazione arborea autoctona non riparia (ampiezza > 30 m, continua). In sinistra invece la vegetazione è costituita da una bordura di arbusti ripari in continuità con una formazione arbustiva autoctona non riparia (interruzioni del 5-15% e ampiezza di 2-5 m, limitazione prodotta dalla strada forestale che costeggia il corso d'acqua). Le rive mostrano una limitata incisione verticale. La sezione trasversale ha subito dei consolidamenti puntiformi, le sponde sono state rinforzate in alcuni punti con massi a secco. L'idoneità ittica è buona e gli elementi idromorfologici sono distinti ma a distanza irregolare. Il comparto biologico continua a non mostrare segni di alterazione.

## LENT019

| LENT019 | 1   | 2   | 2b  | 3   | 4   | 5   | 6   | 7   | 8   | 9   | 10  | 11  | 12  | 13  | 14  | IFF       |         |
|---------|-----|-----|-----|-----|-----|-----|-----|-----|-----|-----|-----|-----|-----|-----|-----|-----------|---------|
|         | TER | VP1 | VP2 | AMP | CON | CID | ESO | RIT | ERO | SEZ | ITT | IDR | CVA | DET | MBT | Punteggio | Livello |
| Dx      | 25  | 25  |     | 15  | 15  | 20  | 1   | 25  | 20  | 20  | 25  | 15  | 15  | 15  | 20  | 256       | I-II    |
| Sx      | 25  | 25  |     | 15  | 15  | 20  | 1   | 25  | 20  | 20  | 25  | 15  | 15  | 15  | 20  | 256       | I-II    |

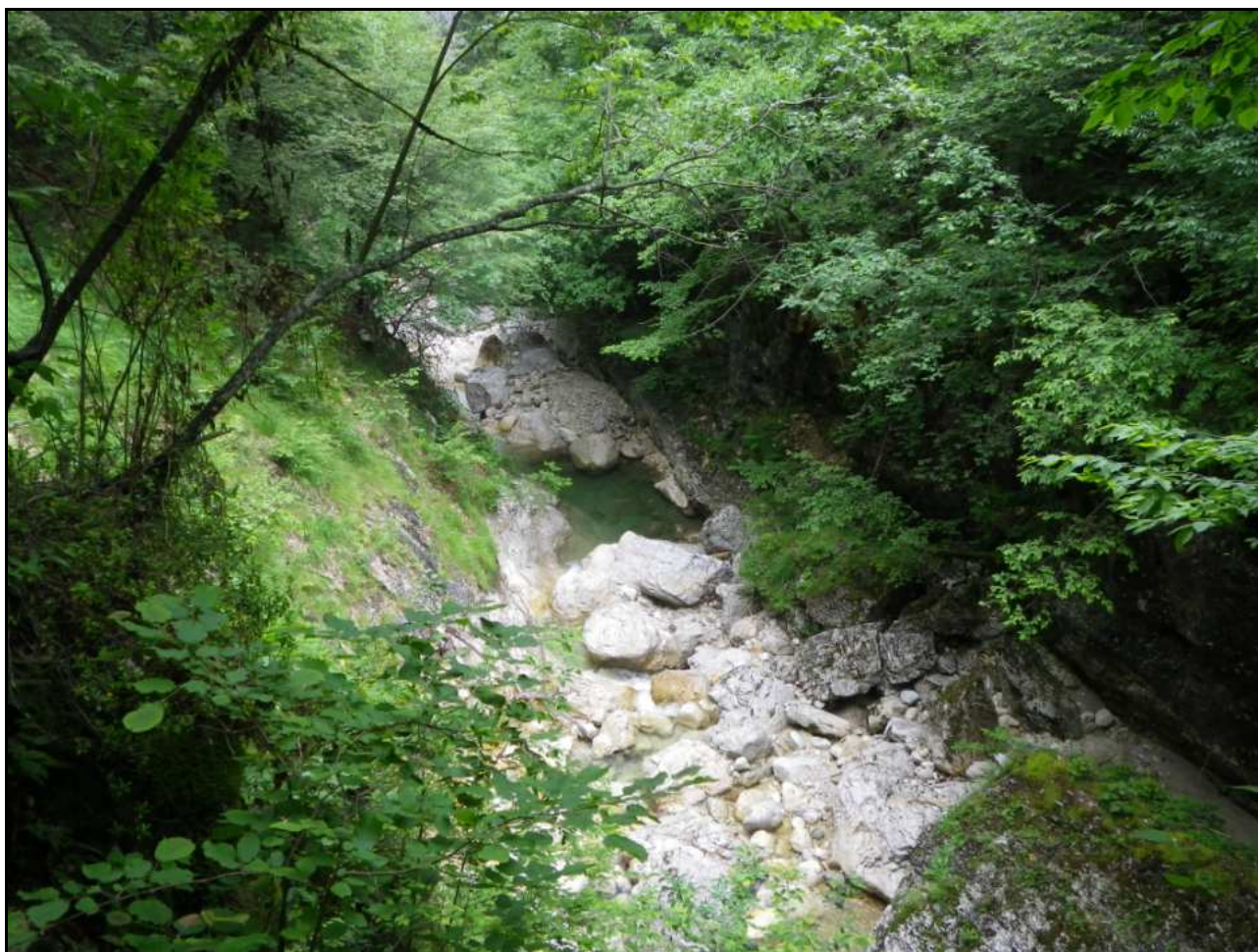
Strada lontana in sinistra – inizio strada in sinistra; lungh: 2045 m



Il tratto scorre in un territorio privo di antropizzazione, l'assenza di opere spondali permette ora l'insediamento, su entrambe le sponde, di una formazione arbustiva riparia in continuità con la formazione arborea autoctona non riparia; non sono presenti discontinuità e l'ampiezza cumulativa delle formazioni funzionali supera i 30 metri. Il corso d'acqua appare naturalmente confinato dalla forte acclività dei versanti che impediscono, durante i fenomeni di piena, l'espansione laterale dello stesso. Il fondo dell'alveo mostra una compresenza di substrati diversificati ed offre buone strutture di ritenzione. L'idromorfologia è caratterizzata da una successione irregolare di elementi (pozze, cascatelle, raschi). La diversificazione del substrato e la buona diversità idromorfologica, unite ad una buona produzione di cibo ed ombreggiatura, permettono un'elevata idoneità ittica. In alveo non sono presenti macrofite tolleranti ed il periphyton è sottile; il detrito è fibroso e la comunità macrobentonica è ben strutturata e diversificata; questa risulta costituita da taxa sensibili all'inquinamento, come i Plecotteri Nemouridae.

## LENT020

| LENT020  | 1   | 2   | 2b  | 3   | 4   | 5   | 6   | 7   | 8   | 9   | 10  | 11  | 12  | 13  | 14  | IFF       |         |
|--|-----|-----|-----|-----|-----|-----|-----|-----|-----|-----|-----|-----|-----|-----|-----|-----------|---------|
|  | TER | VP1 | VP2 | AMP | CON | CID | ESO | RIT | ERO | SEZ | ITT | IDR | CVA | DET | MBT | Punteggio | Livello |
| Dx   | 25  | 10  |     | 15  | 5   | 20  | 1   | 15  | 20  | 20  | 20  | 15  | 15  | 15  | 10  | 206       | II      |
| Sx   | 25  | 10  |     | 10  | 10  | 20  | 1   | 15  | 20  | 20  | 20  | 15  | 15  | 15  | 10  | 206       | II      |
| Inizio strada in sinistra – strade vicine in destra e sinistra; lungh: 363 m |     |     |     |     |     |     |     |     |     |     |     |     |     |     |     |           |         |



Il tratto è caratterizzato dalla presenza di una fascia perifluviale costituita da una bordura di arbusti ripari (frassini e saliconi) in successione con la formazione arborea autoctona non riparia (faggi, abete rosso); l'ampiezza cumulativa delle formazioni funzionali è maggiore di 30m solo in destra, mentre, in sinistra, è compresa tra 30 e 10 metri limitata da una strada forestale, vi sono in entrambe le sponde discontinuità determinate dalla parete rocciosa affiorante, piuttosto frequenti in sponda destra. Il fondo dell'alveo presenta buone strutture di ritenzione benché vi siano alcune zone del fondo a copertura rocciosa uniforme. L'idoneità ittica è buona e non sono presenti macrofite tolleranti. Il periphyton è sottile; il detrito è fibroso e la comunità macrobentonica è sufficientemente diversificata ma con struttura alterata rispetto all'atteso.



## LENT021

| LENT021 | 1   | 2   | 2b  | 3   | 4   | 5   | 6   | 7   | 8   | 9   | 10  | 11  | 12  | 13  | 14  | IFF       |         |
|---------|-----|-----|-----|-----|-----|-----|-----|-----|-----|-----|-----|-----|-----|-----|-----|-----------|---------|
|         | TER | VP1 | VP2 | AMP | CON | CID | ESO | RIT | ERO | SEZ | ITT | IDR | CVA | DET | MBT | Punteggio | Livello |
| Dx      | 25  | 10  |     | 10  | 10  | 20  | 1   | 5   | 20  | 15  | 5   | 15  | 15  | 15  | 5   | 171       | III     |
| Sx      | 25  | 10  |     | 10  | 10  | 20  | 1   | 5   | 20  | 15  | 5   | 15  | 15  | 15  | 5   | 171       | III     |

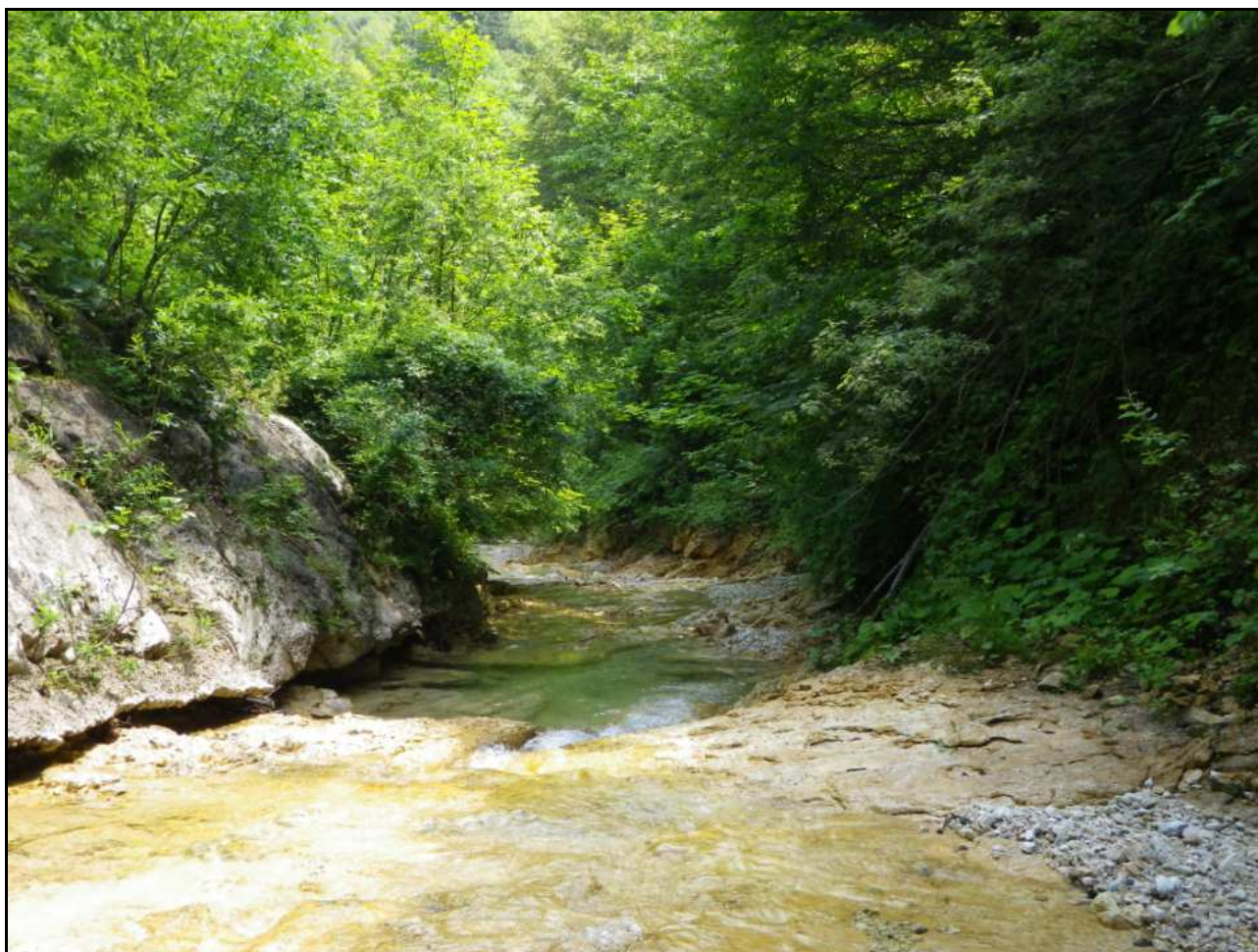
Strade vicine in destra e sinistra – ponte; lungh: 205 m



La vegetazione della fascia perfluviale non mostra variazioni rispetto al precedente tratto ad eccezione dell'ampiezza delle formazioni che ora è compresa, in entrambe le sponde, tra 30 e 10 metri per la presenza di strade forestali che ne determinano il limite esterno; sono sempre presenti interruzioni per la roccia affiorante. Il fondo dell'alveo non offre buone strutture di ritenzione, in quanto si presenta quasi totalmente costituito da roccia uniforme, questo determina una diminuzione della diversità ambientale del tratto. L'idoneità ittica per le scarse zone rifugio e frega risulta poco sufficiente. Le altre caratteristiche funzionali non variano rispetto al precedente tratto con l'eccezione della comunità macrobentonica che appare poco equilibrata e diversificata.

## LENT022

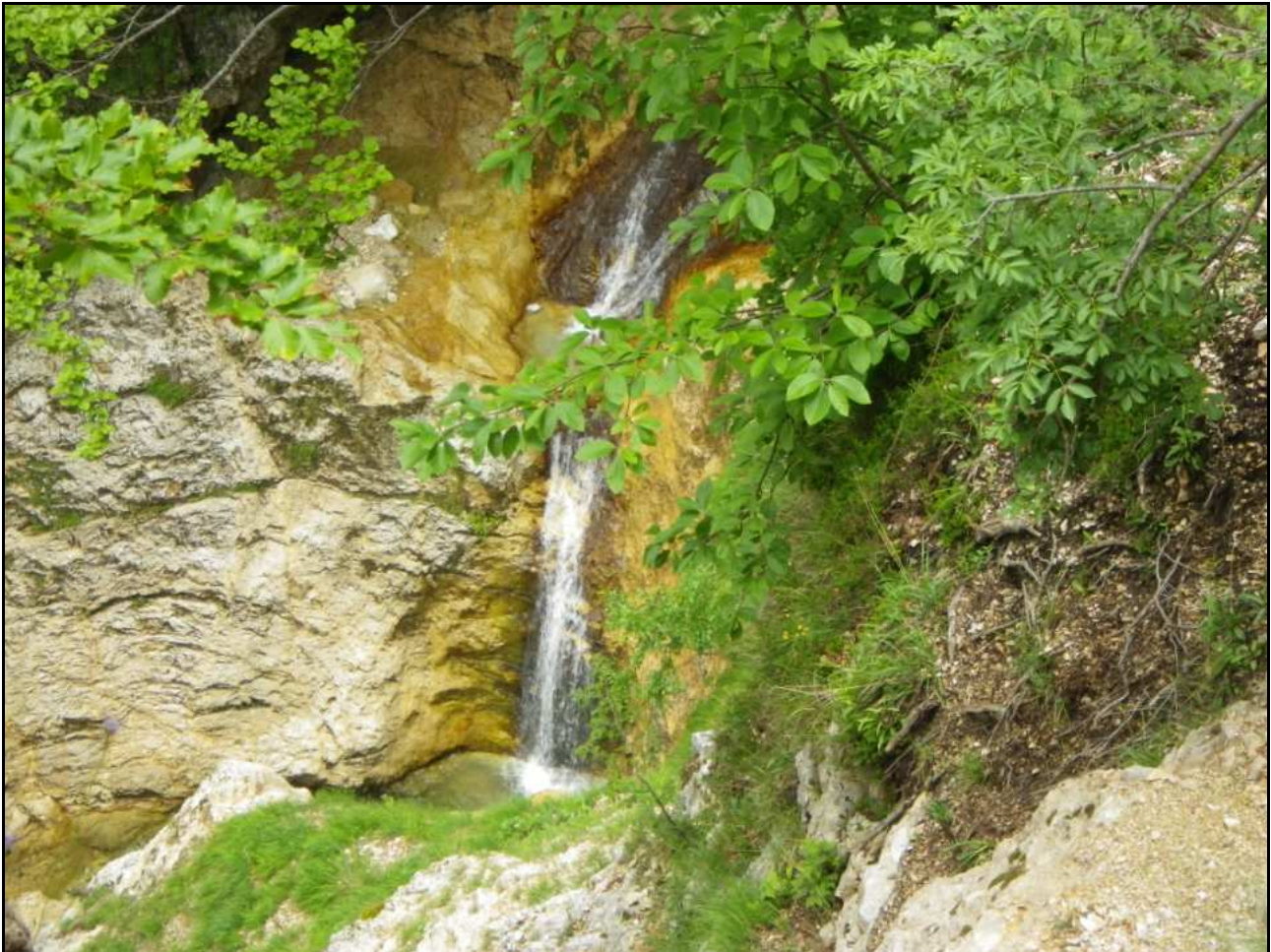
| LENT022  | 1   | 2   | 2b  | 3   | 4   | 5   | 6   | 7   | 8   | 9   | 10  | 11  | 12  | 13  | 14  | IFF       |         |
|--|-----|-----|-----|-----|-----|-----|-----|-----|-----|-----|-----|-----|-----|-----|-----|-----------|---------|
|  | TER | VP1 | VP2 | AMP | CON | CID | ESO | RIT | ERO | SEZ | ITT | IDR | CVA | DET | MBT | Punteggio | Livello |
| Dx   | 25  | 10  |     | 15  | 15  | 20  | 1   | 15  | 20  | 20  | 25  | 15  | 15  | 15  | 10  | 221       | II      |
| Sx   | 25  | 25  |     | 10  | 15  | 20  | 1   | 15  | 20  | 20  | 25  | 15  | 15  | 15  | 10  | 231       | II      |
| Ponte – strada lontana in sinistra; lungh: 783 m |     |     |     |     |     |     |     |     |     |     |     |     |     |     |     |           |         |



In sponda sinistra si insedia una formazione arbustiva di essenze riparie (salici e frassini) con ampiezza compresa tra 30 e 10 metri a causa del limite esterno imposto dalla strada forestale. In sponda destra è presente una bordura di arbusti ripari in successione alla formazione arborea autoctona non riparia senza limitazioni d'ampiezza e discontinuità inferiori al 10%. Il fondo dell'alveo presenta buone strutture di ritenzione benché vi siano alcune zone del fondo a copertura rocciosa uniforme. L'idromorfologia è caratterizzata da una successione irregolare di elementi (pozze, cascatelle, raschi). La diversificazione del substrato e la buona diversità idromorfologica, unite ad una buona produzione di cibo ed ombreggiatura, permettono un'elevata idoneità ittica. Non sono presenti macrofite tolleranti ed il periphyton è sottile; il detrito è fibroso e la comunità macrobentonica è sufficientemente diversificata ma con struttura alterata rispetto all'atteso.

## LENT023

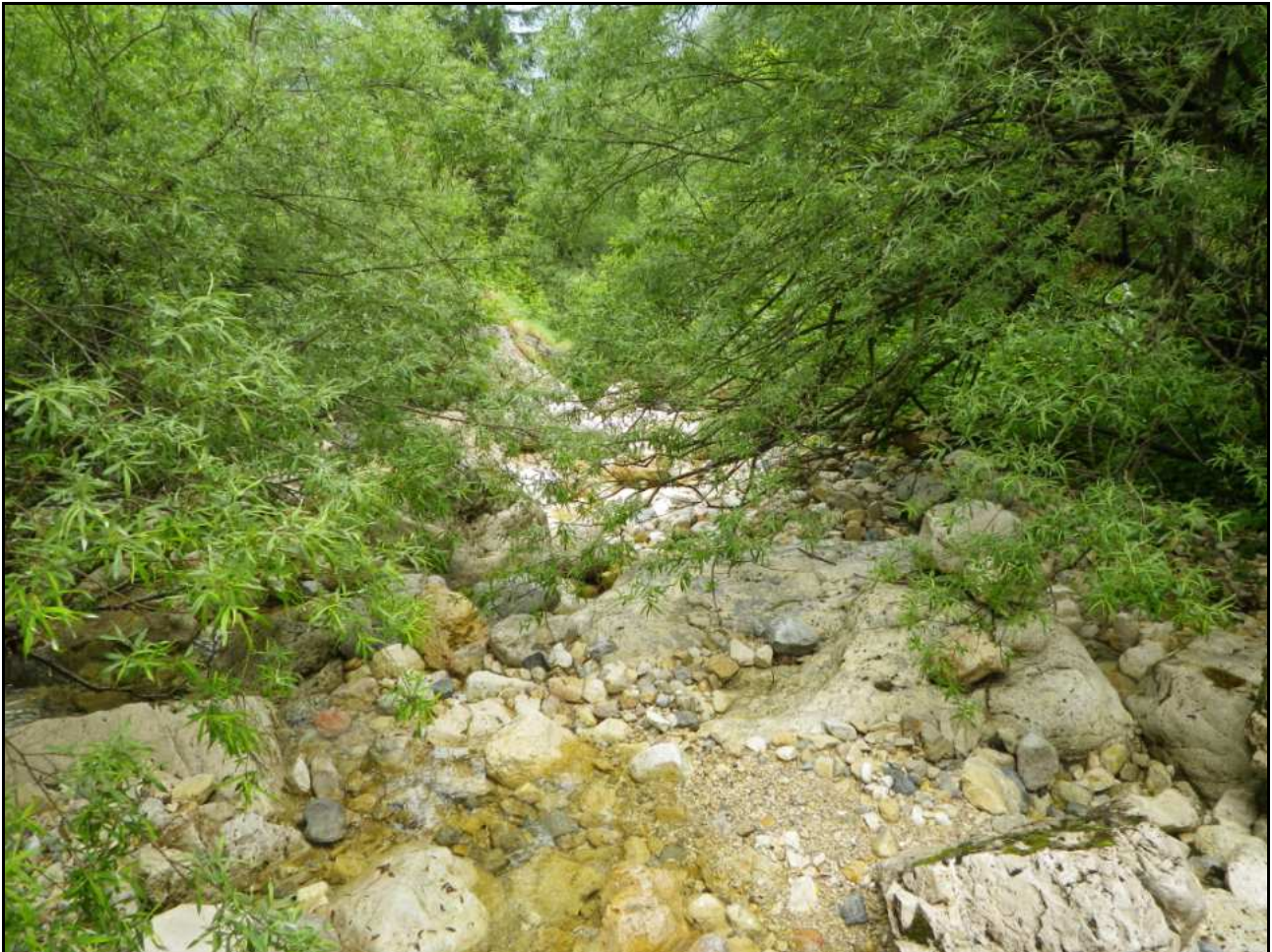
| LENT023  | 1   | 2   | 2b  | 3   | 4   | 5   | 6   | 7   | 8   | 9   | 10  | 11  | 12  | 13  | 14  | IFF       |         |
|--|-----|-----|-----|-----|-----|-----|-----|-----|-----|-----|-----|-----|-----|-----|-----|-----------|---------|
|  | TER | VP1 | VP2 | AMP | CON | CID | ESO | RIT | ERO | SEZ | ITT | IDR | CVA | DET | MBT | Punteggio | Livello |
| Dx   | 25  | 10  |     | 15  | 10  | 20  | 1   | 5   | 20  | 15  | 20  | 15  | 15  | 15  | 10  | 196       | II-III  |
| Sx   | 25  | 10  |     | 15  | 10  | 20  | 1   | 5   | 20  | 15  | 20  | 15  | 15  | 15  | 10  | 196       | II-III  |
| Strada lontana in sinistra – strada vicina in sinistra; lungh: 743 m |     |     |     |     |     |     |     |     |     |     |     |     |     |     |     |           |         |



La fascia perifluviale è costituita da bordure di essenze riparie in successione alla formazione arborea autoctona non riparia, senza limitazioni d'ampiezza ma con discontinuità comprese tra il 10 ed il 25 % dettate dalle pareti rocciose affioranti. Il fondo dell'alveo non presenta buone strutture di ritenzione, in quanto presenta molti tratti di roccia uniforme ed altri con ciottoli facilmente movibili, questo, unito alle pareti rocciose affioranti determina una diminuzione della diversità ambientale del tratto. L'idoneità ittica viene penalizzata dai salti naturali che avendo altezza >1 m non possono essere superati dai pesci. Le altre caratteristiche funzionali non variano rispetto al precedente tratto. La comunità macrobentonica campionata risulta composta da Ephemeroptera Heptageniidae; Plecoptera Leuctridae, Ditteri Simuliidae e Chironomide.

## LENT024

| LENT024  | 1   | 2   | 2b  | 3   | 4   | 5   | 6   | 7   | 8   | 9   | 10  | 11  | 12  | 13  | 14  | IFF       |         |
|--|-----|-----|-----|-----|-----|-----|-----|-----|-----|-----|-----|-----|-----|-----|-----|-----------|---------|
|  | TER | VP1 | VP2 | AMP | CON | CID | ESO | RIT | ERO | SEZ | ITT | IDR | CVA | DET | MBT | Punteggio | Livello |
| Dx   | 25  | 10  |     | 15  | 15  | 20  | 1   | 25  | 20  | 20  | 25  | 15  | 15  | 15  | 10  | 231       | II      |
| Sx   | 25  | 10  |     | 5   | 10  | 20  | 1   | 25  | 20  | 20  | 25  | 15  | 15  | 15  | 10  | 216       | II      |
| Strada vicina in sinistra – fine acqua; lungh: 298 m |     |     |     |     |     |     |     |     |     |     |     |     |     |     |     |           |         |



L'ultimo tratto del torrente Leno di Terragnolo si conclude al termine dell'acqua (foto a lato) poco sopra malga Gulva. La vegetazione della fascia perifluviale sinistra è costituita da una bordura di arbusti ripari (salici) d'ampiezza compresa tra 2 e 5 metri per la limitazione imposta da una strada forestale; in sponda destra la stessa bordura è in successione alla formazione arborea autoctona non riparia senza limitazioni d'ampiezza né discontinuità. Il fondo dell'alveo mostra una compresenza di substrati diversificati ed offre buone strutture di ritenzione.



L'idromorfologia è caratterizzata da una successione irregolare di elementi. La diversificazione del substrato e la buona diversità idromorfologica, unite ad una buona produzione di cibo ed ombreggiatura, permettono un'elevata idoneità ittica. In alveo non sono presenti macrofite tolleranti

ed il periphyton è sottile; il detrito è fibroso e la comunità macrobentonica è sufficientemente diversificata ma con struttura alterata rispetto all'atteso.

**LENT025**

Fine acqua – 1800 m.

Tratto non rilevato poiché privo d'acqua.

Lungh: 2450 m

## Commento dei risultati IFF

La somma delle lunghezze dei tratti rilevati è di 15250 m.

Il torrente Leno di Terragnolo per circa 2/3 della lunghezza complessiva rilevata ottiene un giudizio buono (63% in destra e 65% in sinistra). Il 18% della lunghezza in destra ed il 15% in sinistra ottiene un giudizio compreso tra l'ottimo-buono e l'ottimo (LENT005, LENT009d e LENT019), sono tratti in cui il territorio si presenta pressoché naturale, la vegetazione esprime massimi livelli di funzionalità e la morfologia non è stata sottoposta ad interventi antropici. Solo il tratto LENT011, che ottiene in sinistra il giudizio di pessimo ed in destra di scadente, risulta completamente artificializzato, essendo questo un canale di derivazione idroelettrica. Da segnalare anche che gli interventi di sistemazione dell'alveo per la sicurezza idraulica hanno comunque cercato di mantenere la continuità fluviale, soprattutto per consentire la risalita dei pesci.

| Funzionalità reale | Lungh. Tot Dx (m) | % Dx | Lungh. Tot Sx (m) | % Sx |
|--------------------|-------------------|------|-------------------|------|
| ottimo             | 244               | 2%   | 244               | 2%   |
| ottimo-buono       | 2045              | 13%  | 2045              | 13%  |
| buono              | 9988              | 65%  | 9921              | 65%  |
| buono-mediocre     | 1024              | 7%   | 976               | 6%   |
| mediocre           | 430               | 3%   | 1829              | 12%  |
| mediocre-scadente  | 1283              | 8%   | 0                 | 0%   |
| scadente           |                   | 0%   | 0                 | 0%   |
| scadente-pessimo   | 235               | 2%   | 0                 | 0%   |
| pessimo            | 0                 | 0%   | 235               | 2%   |

Tabella 2: Percentuale dei giudizi di funzionalità reale in relazione alla lunghezza del corso d'acqua

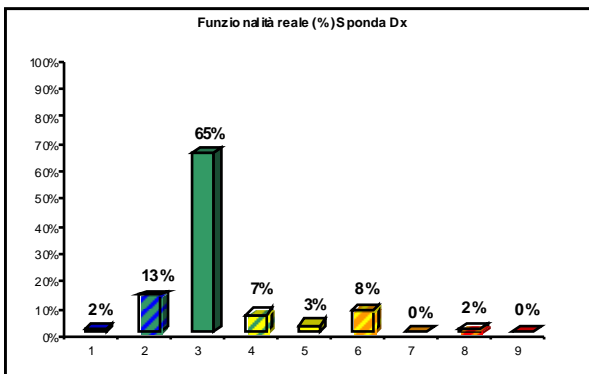


Figura 10a: Grafici della distribuzione percentuale dei giudizi di funzionalità reale per la sponda destra

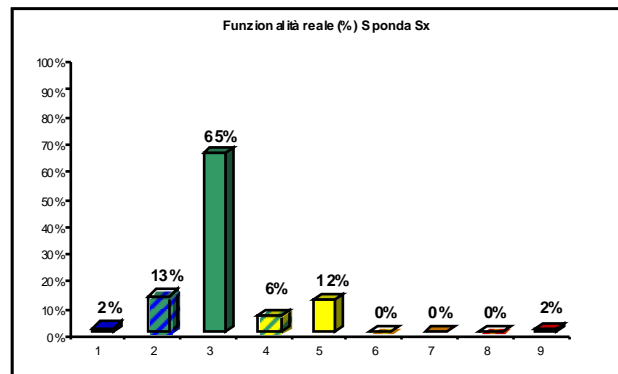


Figura 10b: Grafici della distribuzione percentuale dei giudizi di funzionalità reale per la sponda sinistra

Il torrente in esame rientra in tre categorie tipologiche fluviali: il fondovalle ampio, il fondovalle stretto ed il montano. Con il calcolo della funzionalità relativa si assiste ad un notevole aumento dei giudizi di funzionalità, infatti se con l'IFF reale i 2/3 della lunghezza ricadevano nel giudizio buono ora sono compresi tra l'ottimo e l'ottimo-buono (71% in destra e 67% in sinistra). I tratti che ottengono un giudizio compreso tra lo scadente ed il pessimo rimangono invariati. Pertanto si può affermare che i giudizi di funzionalità assoluti del Leno di Terragnolo sono sicuramente influenzati dalle caratteristiche naturalistico-ambientali del territorio più che da pressioni antropiche.

| Funzionalità relativa | Lungh. Tot Dx (m) | % Dx | Lungh. Tot Sx (m) | % Sx |
|-----------------------|-------------------|------|-------------------|------|
| ottimo                | 9794              | 64%  | 8972              | 59%  |
| ottimo-buono          | 947               | 6%   | 1245              | 8%   |
| buono                 | 2561              | 17%  | 2969              | 19%  |
| buono-mediocre        | 430               | 3%   | 528               | 3%   |
| mediocre              | 117               | 1%   | 1301              | 9%   |
| mediocre-scadente     | 1167              | 8%   | 0                 | 0%   |
| scadente              | 235               | 2%   | 0                 | 0%   |
| scadente-pessimo      | 0                 | 0%   | 0                 | 0%   |
| pessimo               | 0                 | 0%   | 235               | 2%   |

Tabella 3: Percentuale dei giudizi di funzionalità relativa in relazione alla lunghezza del corso d'acqua

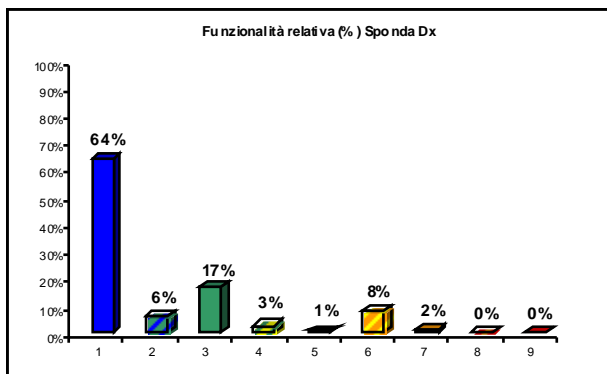


Figura 11a: Grafici della distribuzione percentuale dei giudizi di funzionalità relativa per la sponda destra

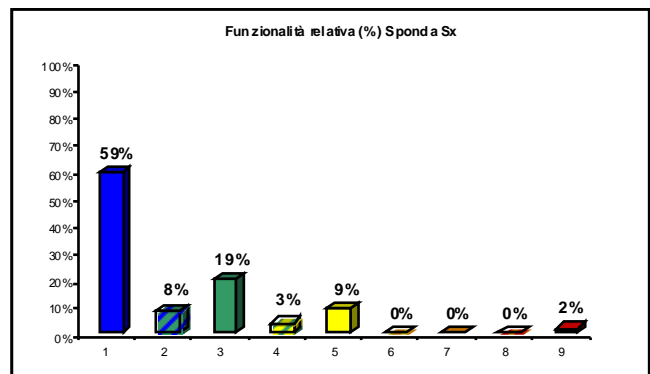


Figura 11b: Grafici della distribuzione percentuale dei giudizi di funzionalità relativa per la sponda sinistra